



Boletín Oceanográfico de BCS, julio de 2024

Elaborado por: Dr. Eduardo González Rodríguez¹, Dr. Armando Trasviña Castro², Dr. Romeo Saldívar-Lucio², Dr. Jorge Cortés Ramos³, Dr. José Denis Osuna Amador⁴, Dr(c). Cotsikayala Pacheco Ramírez⁵, Dr. Hugo Herrera Cervantes², Dr. Luis Manuel Farfán Molina⁶ y Dr. Carlos Robinson M.⁷

¹CICESE-UT3, ²Laboratorio SERVANT-CICESE-ULP, ³Investigador Cátedra CONAHCYT-CICESE-ULP, ⁴Investigador Campo Experimental Todos Santos INIFAP, ⁵Estudiante Programa Doctorado en Ciencias de La Vida-CICESE, ⁶CICESE-ULP, ⁷Instituto de Ciencias del Mar y Limnología UNAM

PUBLICADO EN AGOSTO DE 2024, No. 12

Introducción

Este boletín incluye productos gráficos elaborados por los laboratorios de manejo de imágenes de la Unidad UT3 en Tepic, Nayarit, y SERVANT de la Unidad La Paz (ULP) en La Paz, Baja California Sur, del CICESE. El objetivo es mostrar el estado del océano en el mes anterior, en las costas de Baja California Sur (BCS).

Este boletín inicia con una sección de mapas regionales que corresponde a las aguas oceánicas frente a las costas del estado de BCS (figura 1).

Además de estos mapas, se seleccionaron tres sitios específicos (figura 1): [San Juanico](#) (costa occidental, océano pacífico), [Bahía de La Paz](#) (costa del golfo de California) y parque nacional [Cabo Pulmo](#) (Entrada al Golfo de California). En estas localidades se hacen análisis de series de tiempo con datos satelitales de altimetría, clorofila superficial y temperatura superficial del mar. Se incluyen datos *in-situ* de viento colectados a partir de estaciones meteorológicas ubicadas en la zona costera de cada sitio.

Adicionalmente, se presentan datos de temperatura del aire de los aeropuertos de BCS, datos sobre temperaturas terrestres en el [valle de Santo Domingo](#), región contigua al Golfo de Ulloa; y un análisis sobre la [temperatura del aire a 10 m sobre el nivel del mar](#) para la región del Golfo de California.

Índice

Introducción	1
Índice	2
1. Área de estudio	3
2. Método	3
2.1. Información satelital	3
2.2. Temperatura del aire (REANÁLISIS) del Golfo de California	5
2.3.1. Viento local	6
2.3.2. Temperatura del aire	7
2.4. Mapas de distribución mensual	7
2.5. Análisis de series de tiempo.....	7
2.6. Paisaje pelágico	8
2.7. Temperaturas mínimas y máximas del aire en los aeropuertos de BCS	8
3. Resultados	9
3.1. Nivel del mar Absoluto (NMA)	9
3.2. Mapas de distribución mensual.....	10
3.2.1. Anomalías de nivel del mar (ANM)	10
3.2.2. Clorofila superficial (CLO)	11
3.2.3. Temperatura Superficial del Mar (TSM)	12
3.3. Temperatura del aire en el Golfo de California.....	13
3.4. Cabo Pulmo	15
3.4.1. Series de tiempo	15
3.4.3. Paisaje Pelágico (CP)	19
3.4.4. Fitoplancton	20
3.5. Bahía de La Paz	20
3.5.1. Series de tiempo	20
3.5.2. Condiciones Meteorológicas registradas en la Bahía de La Paz: Estación Meteorológica: La Paz. Período: Junio-Julio de 2024.....	22
3.5.3. Viento (VTO) in situ en la ciudad de La Paz, BCS	25
3.5.4. Paisaje Pelágico (BLP)	27
3.5.5. Fitoplancton	27
3.6. San Juanico, Golfo de Ulloa.....	28
3.6.1. Series de tiempo	28
3.6.3. Paisaje Pelágico (GU)	30
3.6.4. Fitoplancton	31
3.6.5. Temperatura en el Valle de Santo Domingo, área contigua, región San Juanico-Golfo de Ulloa	32
3.7. Temperaturas mínimas y máximas en los aeropuertos de BCS	35
4. Glosario	39
5. Referencias	40

1. Área de estudio

El área de estudio corresponde a las aguas oceánicas frente a las costas del estado de BCS (figura 1). Los círculos de colores en la figura 1 indican los sitios de interés en donde se hicieron análisis de series de tiempo para las variables TSM, CLO y ANM (ver sección de variación temporal en método), de sur a norte, parque nacional Cabo Pulmo, La Paz y en San Juanico.

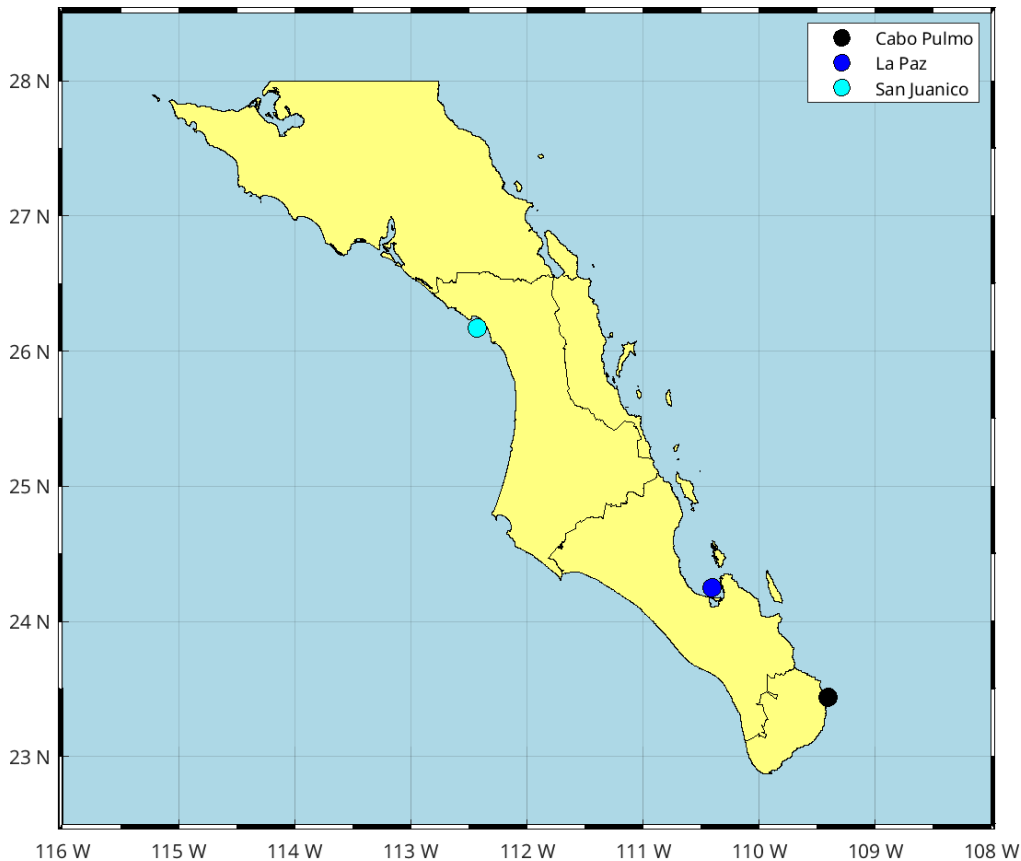


Figura 1: Zona de interés, región oceanográfica de Baja California Sur. Los círculos de colores marcan sitios para el análisis de series de tiempo.

2. Método

Las variables de interés seleccionadas para el presente informe incluyen las derivadas de satélites, modeladas e información *in situ*. A continuación, se describen:

2.1. Información satelital

Nivel de Mar Absoluto (NMA). El NMA se refiere al nivel del mar determinado por múltiples misiones de altimetría satelital, pero a diferencia de las anomalías, la referencia es el geode. El NMA incluye la tendencia de largo período debida al calentamiento global.

Es un producto global, libre de huecos y cuenta con una resolución temporal diaria y espacial de $\sim 25 \times 25$ km.

Global Ocean Gridded L 4 Sea Surface Heights And Derived Variables Reprocessed 1993 Ongoing, DOI: (<https://doi.org/10.48670/moi-00148>).

Global Ocean Gridded L 4 Sea Surface Heights And Derived Variables Nrt DOI (<https://doi.org/10.48670/moi-00149>).

Anomalía del Nivel de Mar (ANM). La ANM es un producto de la altimetría y es estimada por medio una interpolación de diversas misiones. La referencia es el promedio climatológico de 1993 a 2012 (<https://doi.org/10.48670/moi-00149>). Es un producto global, libre de huecos y cuenta con una resolución temporal diaria y espacial de $\sim 25 \times 25$ km.

Clorofila superficial (CLO). La CLO es la clorofila_a satelital y es un producto del denominado "color del océano", que abarca la longitud de onda del espectro visible, generalmente entre los 400 y 700 μm . Corresponde a la primera profundidad óptica, donde la luz disminuye el 90 % (Cervantes-Duarte, 2004). Esta profundidad varía según la cantidad de materia suspendida en el agua y generalmente no supera los 6 metros de profundidad. La CLO es proporcionada por el Copernicus Marine Environment Monitoring Service (CMEMS) de la agencia espacial europea (ESA, por su siglas en inglés). Es un producto global libre de nubes, con una resolución temporal diaria y una resolución espacial de 4×4 km (Garnesson *et al.*, 2019) (https://data.marine.copernicus.eu/product/OCEANCOLOUR_GLO_BGC_L4_MY_009_104/services).

Grupos funcionales fitoplanctónicos. Las características espectrales permiten diferenciar entre diatomeas, dinoflagelados y cocolitofóridos, brindando información detallada sobre su distribución y abundancia. Basándose en estas capacidades, el Copernicus Marine Service (CMEMS) ha generado modelos de reanálisis validados con datos in situ. El producto Global Ocean Colour (Copernicus-GlobColour), Bio-Geo-Chemical, L3 a escala diaria incluye la concentración de los principales grupos funcionales del fitoplancton: diatomeas, dinoflagelados y cocolitofóridos, expresada en la CLO en el agua de mar (IOCCG, 2014)

(https://data.marine.copernicus.eu/product/OCEANCOLOUR_GLO_BGC_L3_MY_009_103/services).

Temperatura Superficial del Mar (TSM). El término TSM se refiere a la capa o piel del océano y representa la temperatura de la capa subsuperficial a una profundidad entre 10–20 μm . La TSM es un producto proporcionado por el laboratorio de oceanografía de propulsión a chorro de la agencia espacial de los Estados Unidos (JPL y NASA,

respectivamente, por sus siglas en inglés). Es un producto global que no presenta huecos por nubosidad con una resolución temporal diaria y espacial de 1x1 km (Chin *et al.*, 2017) (<https://doi.org/10.5067/GHGMR-4FJ04>).

2.2. Temperatura del aire (REANÁLISIS) del Golfo de California

Se analiza la temperatura mensual del aire a 10 m de altura en el Golfo de California (GC) de enero de 1980 a febrero de 2024 provenientes de MERRAS -2 (The second Modern-Era Retrospective Analysis for Research and Applications).

(http://goldsmr4.gesdisc.eosdis.nasa.gov/opensdap/MERRA2_MONTHLY/M2TMNXSLV.5.12.4/contents.html).

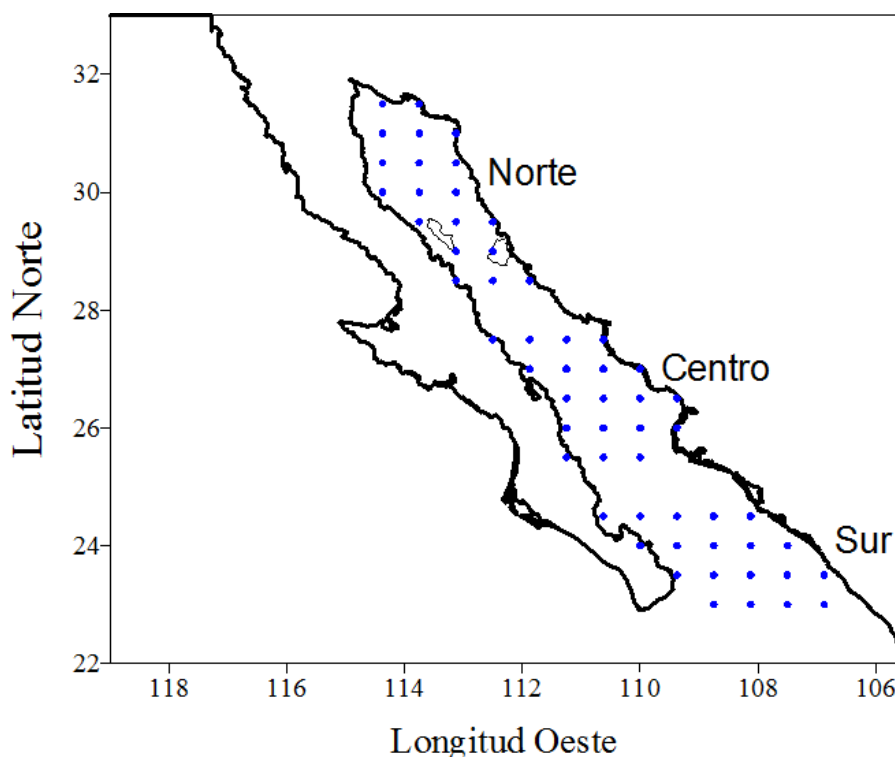


Figura 2: Posición de las celdas en la zona norte, centro y sur provenientes de MERRAS para el cálculo de temperatura del aire a 10 m de altura.

Los datos provienen de 57 celdas con una resolución de 0.5×0.625 de grado localizadas a lo largo del GC. Los datos de temperatura en grados Kelvin fueron convertidos a grados Celsius ($^{\circ}\text{C} = ^{\circ}\text{K} - 273.15$). El área de estudio se dividió en tres zonas: norte $31.5^{\circ} - 28.5^{\circ}$ (19 celdas), Centro: $27.5^{\circ} - 25.5^{\circ}$ (19 celdas) y Sur: $24.5^{\circ} - 23^{\circ}$ (19 celdas) (figura 2). Para cada celda se estimó la anomalía mensual de la temperatura (anomalía mensual = valor observado - promedio mensual). Posteriormente, se calculó la suma parcial de las anomalías que se refiere a la acumulación de las anomalías a lo largo del período de estudio. La suma parcial proporciona una medida acumulativa de las desviaciones con

respecto al promedio mensual a lo largo del tiempo. Es una técnica útil para analizar tendencias a largo plazo y entender la variabilidad acumulativa en una serie de tiempo.

2.3. Datos *in situ*

2.3.1. Viento local

Viento *in situ* o local (VTO). Los datos de viento fueron obtenidos por medio de una Estación Meteorológica Automática (EMA) del servicio meteorológico nacional. Su registro es cada 10 minutos y la forma de almacenamiento es en centrales de observación con comunicación satelital, internet o vía radio (véase: <https://smn.conagua.gob.mx/es/observando-el-tiempo/estaciones-meteorologicas-automaticas-ema-s>).

Los datos se pre-procesaron de forma manual para identificar los valores espurios contenidos en la serie de tiempo. De igual forma, se dejaron en blanco los huecos en la serie de tiempo que ocasionó que algunos casos tuvieran un periodo de tiempo de cero observaciones mayor a un año.

Con los datos de velocidad y dirección del viento sostenido medido en las EMA se calcularon las normales climatológicas de la dirección e intensidad del viento mediante el método gráfico de la rosa de los vientos. Con este método podemos observar alguna distribución de valores atípicos del viento (magnitud y dirección) sin la necesidad de realizar algún filtrado para remover la variabilidad de alta frecuencia.

Con un análisis de cajas (boxplots) se despliegan los valores anómalos (outliers) correspondientes a la intensidad del viento sostenido en cada mes (figura 3). Con este análisis de cajas se pueden resaltar algunos fenómenos meteorológicos que promueven el aumento atípico en la intensidad de los vientos, tales como los ciclones tropicales.

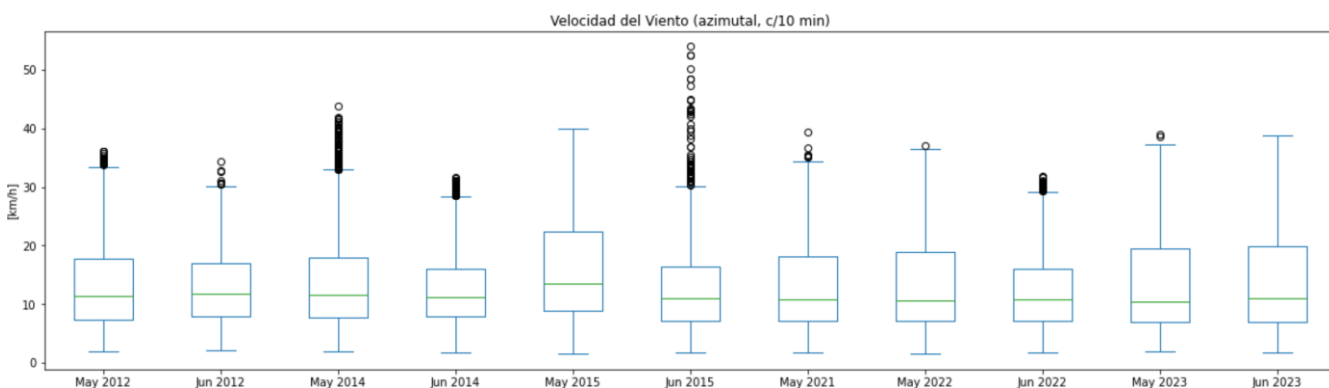


Figura 3: Ejemplo de un gráfico de cajas para los meses de mayo y junio en años selectos del periodo 2012-2023 en la EMA San Juanico. Durante el mes de junio de 2015 el número de valores considerados como *outliers* o valores atípicos aumentó

considerablemente debido a la influencia de la tormenta tropical Blanca (31 mayo - 9 junio) que cruzó por la estación de San Juanico.

2.3.2. Temperatura del aire

Adicionalmente, se hicieron estimaciones de la temperatura del aire (T_{air}) para la Bahía de La Paz por medio de una estación meteorológica Vantage Pro2 de la marca Davis Instruments ubicada en la barra arenosa conocida como El Mogote (24°10' 29" N y 110°19' 36" W). Los datos se registran cada 2 horas y posteriormente son promediados por día, la información se almacena en archivos de acceso libre y están disponibles en <https://ulp.cicese.mx/condiciones-ambientales-observadas-en-la-bahia-de-la-paz/>.

2.4. Mapas de distribución mensual

Para la elaboración de los mapas de distribución del mes se promediaron las imágenes diarias de julio de 2024 para el área comprendida entre los 22 y 29° de latitud norte y los 108° y 116° de longitud oeste (figura 1). Con estos datos se estimaron los valores máximos, mínimos y promedio para cada píxel, además de la diferencia entre máximos y mínimos, y la anomalía mensual. Según Kushnir (1994) y Ramos-Rodríguez *et al.* (2012), para el cálculo de la anomalía mensual se estimó la climatología o promedio histórico mensual y se restó del promedio del mes de interés:

$$\text{Anomalía} = \text{promedio_mensual} - \text{climatología}$$

Para el cálculo de la climatología fue necesario descargar toda la información histórica disponible para cada variable.

2.5. Análisis de series de tiempo

Para el análisis de series de tiempo se seleccionaron los sitios mostrados en la figura 1, el parque nacional Cabo Pulmo, Bahía de La Paz y San Juanico, en BCS. Las variables para el análisis incluyen los datos satelitales de ANM, CLO y TSM y datos *in situ* de VTO.

Las series de las variables corresponden a las anomalías a lo largo del tiempo y se construyeron con los píxeles más cercanos a cada sitio. Las series con las anomalías para cada variable fueron estimadas de la misma forma que para los mapas de distribución.

Para explorar visualmente si existe una relación entre la CLO y la TSM se descargaron los datos mensuales para el periodo 2002-2024 del índice oceánico de El Niño (ONI, por sus siglas en inglés, https://origin.cpc.ncep.noaa.gov/products/analysis_monitoring/ensostuff/ONI_v5.php) y

se superpusieron a las series de CLO, TSM y ANM.

Adicionalmente, se analizan datos mensuales del nivel del mar absoluto (NMA), tanto en la costa occidental como en la costa del golfo de la península (de enero de 1993 a enero de 2024), esto con la idea de mostrar la tendencia de largo periodo del nivel del mar en dicha costa.

2.6. Paisaje pelágico

Para describir los rasgos distintivos del Paisaje Pelágico se descargaron los datos del sitio NOAA Coastwatch (<https://coastwatch.noaa.gov/cw/satellite-data-products/multi-paramet-er-models/seascape-pelagic-habitat-classification.html>). Una vez recortada el área de interés, se hizo un conteo de píxeles para cada categoría de paisaje pelágico, con lo que se calculó el área ocupada por categoría, considerando que: 1 píxel equivale a 5 km². Las categorías o hábitats pelágicos dominantes fueron identificadas como aquellas con la mayor extensión total (km²) en los recortes espacial y temporal considerados. Para revelar el patrón estacional promedio del Paisaje Pelágico se calcularon las climatologías mensuales, obteniendo el promedio del mes correspondiente hasta enero de 2024.

2.7. Temperaturas mínimas y máximas del aire en los aeropuertos de BCS

Con el propósito de describir las temperaturas extremas en el estado de Baja California Sur, se analizaron series de tiempo diarias con datos de la temperatura del aire y viento (magnitud y dirección) en los aeropuertos internacionales de San José del Cabo, La Paz y Loreto.

3. Resultados

3.1. Nivel del mar Absoluto (NMA)

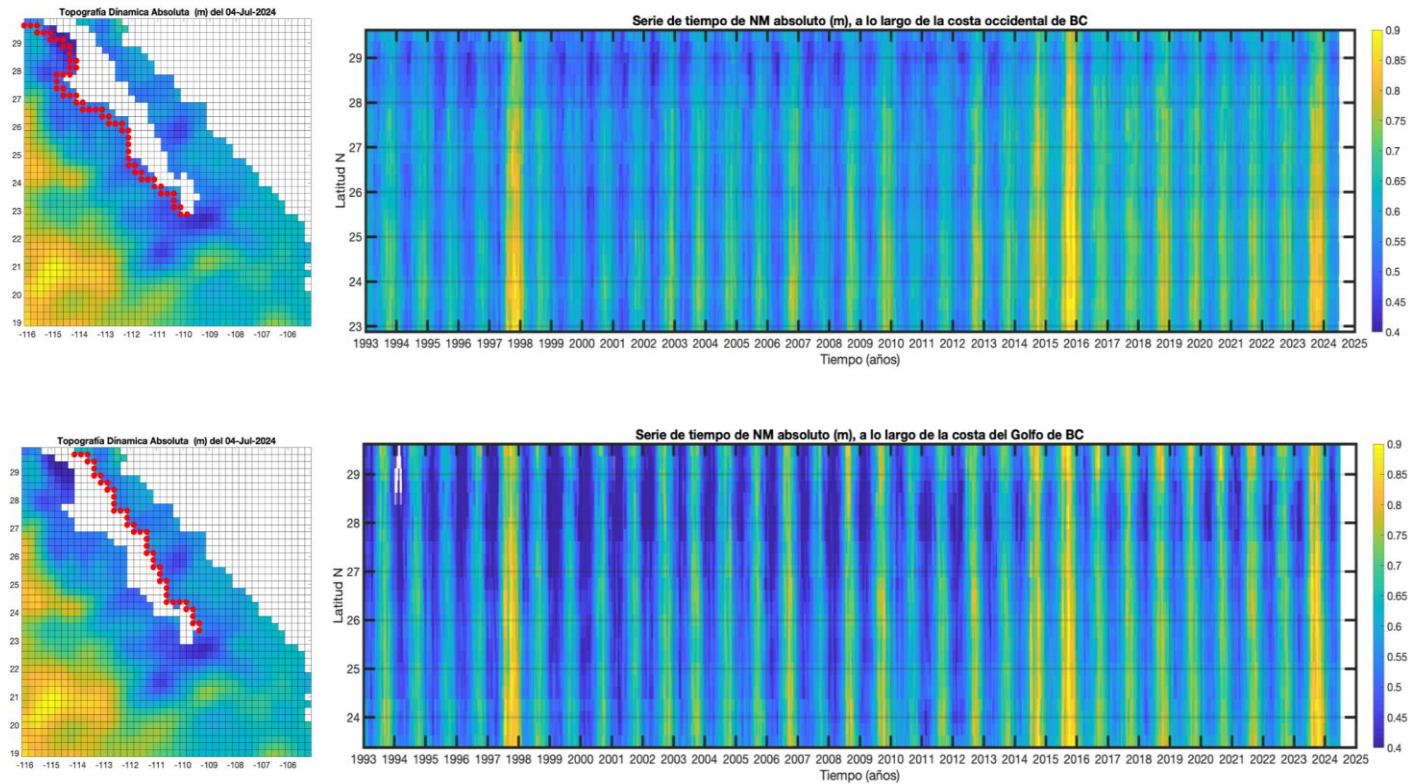


Figura 4: Evolución del nivel del mar (NM absoluto) a lo largo de las dos costas de la península de BC desde enero de 1993 hasta julio de 2024. Arriba: costa Occidental; abajo: costa del Golfo de California.

Esta sección muestra la evolución del nivel del mar absoluto (NMA) a lo largo de la costa (figura 4). Las unidades son metros (m) y destacan los máximos que corresponden a eventos cálidos, en tonos amarillos. Por ejemplo, el Niño de 1997-1998, el *Blob* cálido de 2014, el Niño de 2015 (en amarillo) y el Niño de 2023 que alcanza una elevación anómala comparable con la del 2015. Este año de 2023, es más intenso (más amarilla) en el interior del Golfo de California (panel inferior) que en la Costa Occidental (panel superior). En invierno, en la costa del Golfo de California (panel inferior) el nivel del mar desciende más que en la Costa Occidental, por esto los tonos azules más intensos en el panel inferior. En el primer semestre de 2024, ambas costas muestran el descenso del nivel del mar que inicia en invierno (tonos azules), aún intenso en la costa del Golfo de California en junio de 2024 pero que inicia su elevación de verano en julio de 2024. También es evidente que en el norte del golfo los máximos extremos (> 0.85 en amarillo) se han vuelto más comunes de 2014 a la fecha. El mapa de la zona muestra el campo de nivel del mar de julio de 2024.

3.2. Mapas de distribución mensual

3.2.1. Anomalías de nivel del mar (ANM)

Las condiciones de ANM durante el mes de julio de 2024 se muestran en la figura 5. El mapa del panel **A** muestra las anomalías máximas registradas, cuyo rango se ubicó entre -0.01 y 0.52 m (en junio el rango fue de -0.01 y 0.18 m). El panel **B** muestra las anomalías mínimas, cuyo rango estuvo entre -0.37 y 0.15 (-0.08 y 0.12 m en junio). El panel **C** muestra la diferencia entre anomalías máximas y mínimas (**A** - **B**) durante este mes, el valor máximo fue de 0.78 m, una diferencia importante de 0.62 m respecto a los 0.16 m de junio. Esta imagen es útil en el sentido de mostrar las zonas donde se presentó el mayor rango de variación de nivel del mar a lo largo del mes. El panel **D** muestra las anomalías con respecto al promedio histórico o climatológico de datos de 1993 a 2012, es decir, indica las variaciones de ANM en comparación con las condiciones normales a lo largo del tiempo. Los colores rojos indican condiciones anómalamente positivas (mayor altura de lo normal), mientras que los colores azules indican condiciones anómalamente negativas (menor altura), el rango se ubicó entre -0.03 y 0.1 , un rango ligeramente mayor que el de junio (-0.02 y 0.14 m). En general, los valores de este mes indican un nivel del mar ligeramente mayor (0.05 m) al de junio. Las anomalías están muy cerca del valor promedio en toda la región, lo que indica un mes muy similar al mes climatológico.

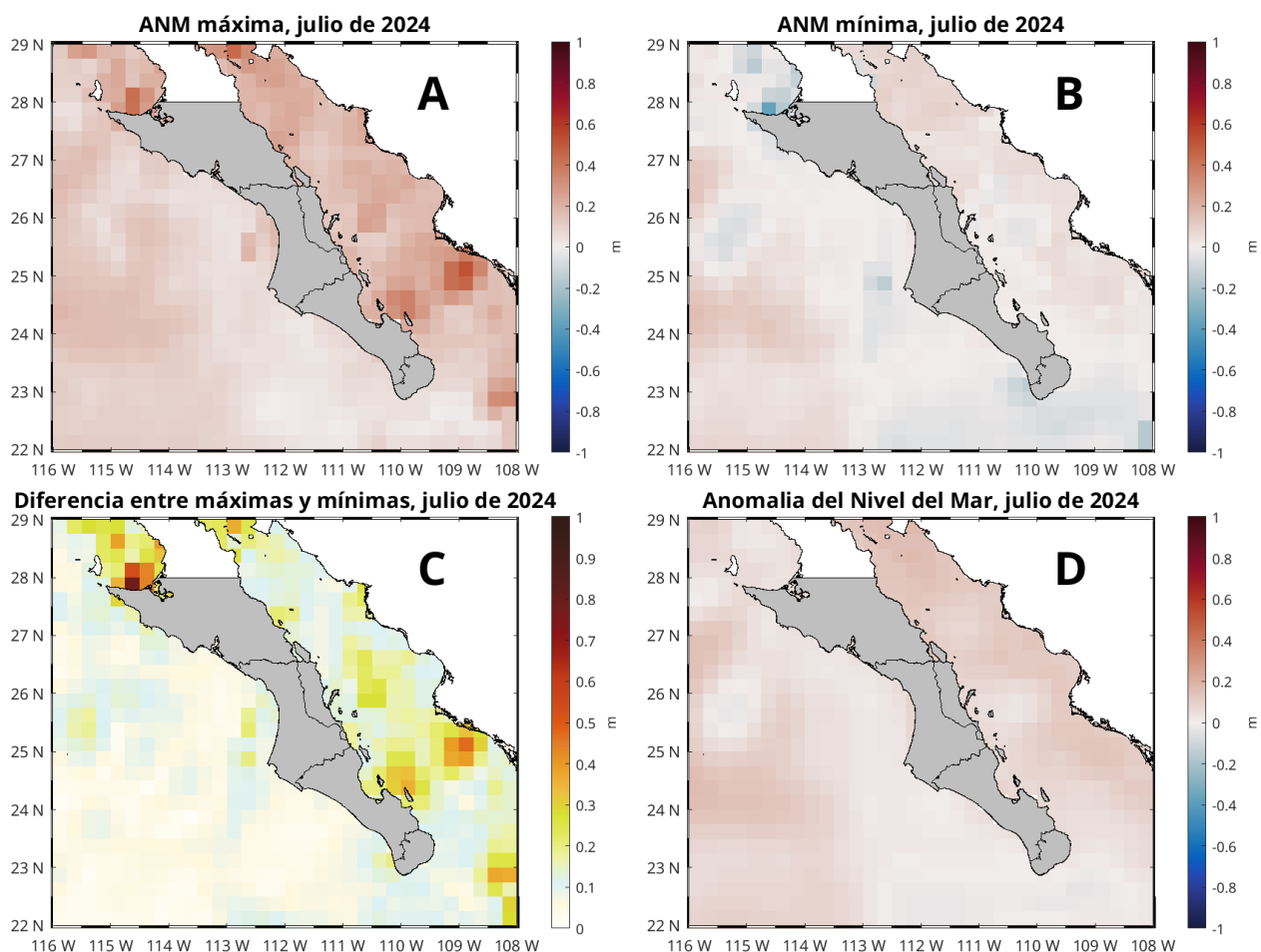


Figura 5: Condiciones de ANM durante el mes de julio de 2024. Panel **A**, niveles máximos, **B** niveles mínimos, **C** diferencia entre máximos y mínimos y **D** anomalía.

3.2.2. Clorofila superficial (CLO)

Las condiciones de CLO durante el mes de junio de 2024 se muestran en la figura 6. El mapa del panel **A** muestra las concentraciones máximas registradas, cuyo rango se ubicó entre 0.07 y 65.0 $\text{mg}\cdot\text{m}^{-3}$, rango superior al de junio (0.07 y 57.0 $\text{mg}\cdot\text{m}^{-3}$). El panel **B** muestra las concentraciones promedio, cuyo rango estuvo entre 0.06 y 30.0 $\text{mg}\cdot\text{m}^{-3}$, rango muy superior al de junio (0.0 y 1 $\text{mg}\cdot\text{m}^{-3}$). El panel **C** muestra la diferencia entre concentraciones máximas y mínimas (imagen no mostrada) durante este mes, cuyo valor máximo fue de 64 $\text{mg}\cdot\text{m}^{-3}$, superior a los 56 $\text{mg}\cdot\text{m}^{-3}$ en comparación con el mes anterior. Esta imagen es útil en el sentido de mostrar las zonas donde hubo las mayores variaciones de CLO a lo largo del mes. El panel **D** muestra las anomalías con respecto al promedio histórico o climatológico de datos desde 1997, es decir, indican las variaciones de CLO en comparación con las condiciones *normales* a lo largo del tiempo. Los colores rojos indican condiciones anómalamente positivas (mayor concentración de lo normal), mientras que los colores azules indican condiciones anómalamente negativas (menores concentraciones), el rango se ubicó entre -9.7 y 14.9 $\text{mg}\cdot\text{m}^{-3}$, rango mayor respecto a junio (-8.8 y 10.33 $\text{mg}\cdot\text{m}^{-3}$). En general, toda la región costera de la costa occidental tuvo los valores máximos. Las aguas del golfo fueron particularmente menos productivas en comparación con la zona costera. En vista de que hubo valores máximos cercanos a los 65 $\text{mg}\cdot\text{m}^{-3}$, la imagen de diferencia (**C**) presenta valores fuera de la escala. Aun así, hay regiones con ligeras anomalías negativas, principalmente en la región costera continental y en la región central del golfo.

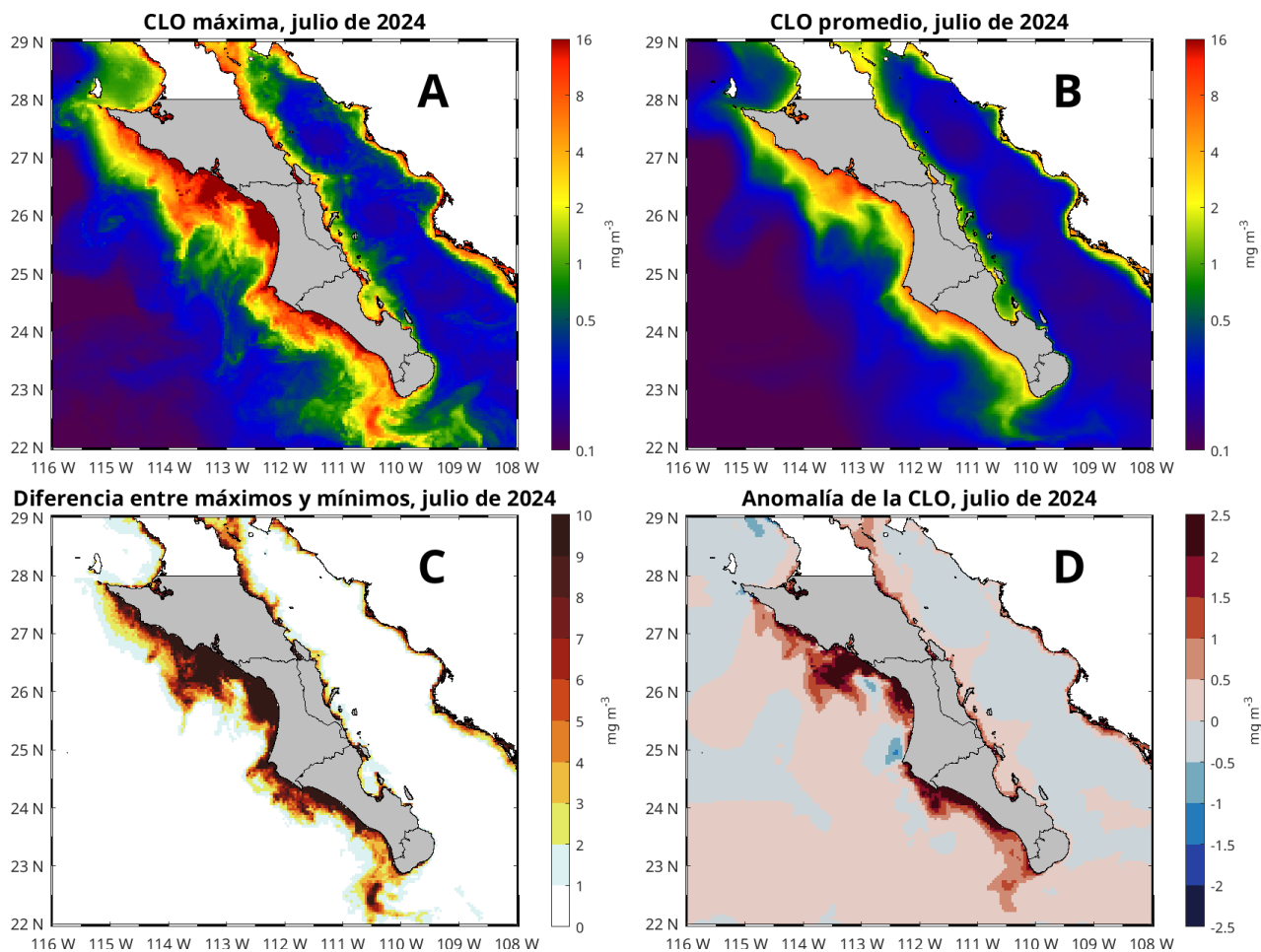


Figura 6: Concentraciones de CLO durante el mes de julio de 2024. Panel **A**, máximas, **B** promedio, **C** diferencia entre concentraciones máximas y mínimas y **D** anomalía.

3.2.3. Temperatura Superficial del Mar (TSM)

Las condiciones de TSM durante el mes de julio de 2024 se muestran en la figura 7. El mapa del panel **A** muestra las temperaturas máximas registradas, cuyo rango se ubicó entre 19.9 y 31.8 °C, superior en casi dos grados a los registros del mes de junio (17.9 y 30.8 °C). El panel **B** muestra el promedio de temperatura, cuyo rango estuvo entre 19.1 y 30.7 °C, con valores superiores a los de junio (16.3 y 29.3 °C). El panel **C** muestra la diferencia entre máximos y mínimos (imagen no mostrada) durante este mes, cuyo valor más alto fue de 7.7 °C, menor a los 9.2 °C del mes anterior, pero con temperaturas mayores. Esta imagen es útil en el sentido de mostrar las zonas donde hubo las mayores variaciones de la TSM a lo largo del mes. El panel **D** muestra las anomalías con respecto al promedio histórico o climatológico de datos desde 2002, es decir, indican las variaciones de TSM en comparación con las condiciones normales a lo largo del tiempo. Los colores rojos indican condiciones anómalamente positivas (mayor o más caliente de lo normal), mientras que los colores azules indican condiciones anómalamente negativas (menores o más frías de lo normal), el rango se ubicó entre -2.3 y 1.3 °C, superior al rango de -1.9 y 1.7 °C del mes anterior. En términos generales, julio fue un mes con 2-3 grados más

cálidos que junio. Las anomalías fueron $+1\text{ }^{\circ}\text{C}$ dentro del golfo y $-1\text{ }^{\circ}\text{C}$ en la costa occidental.

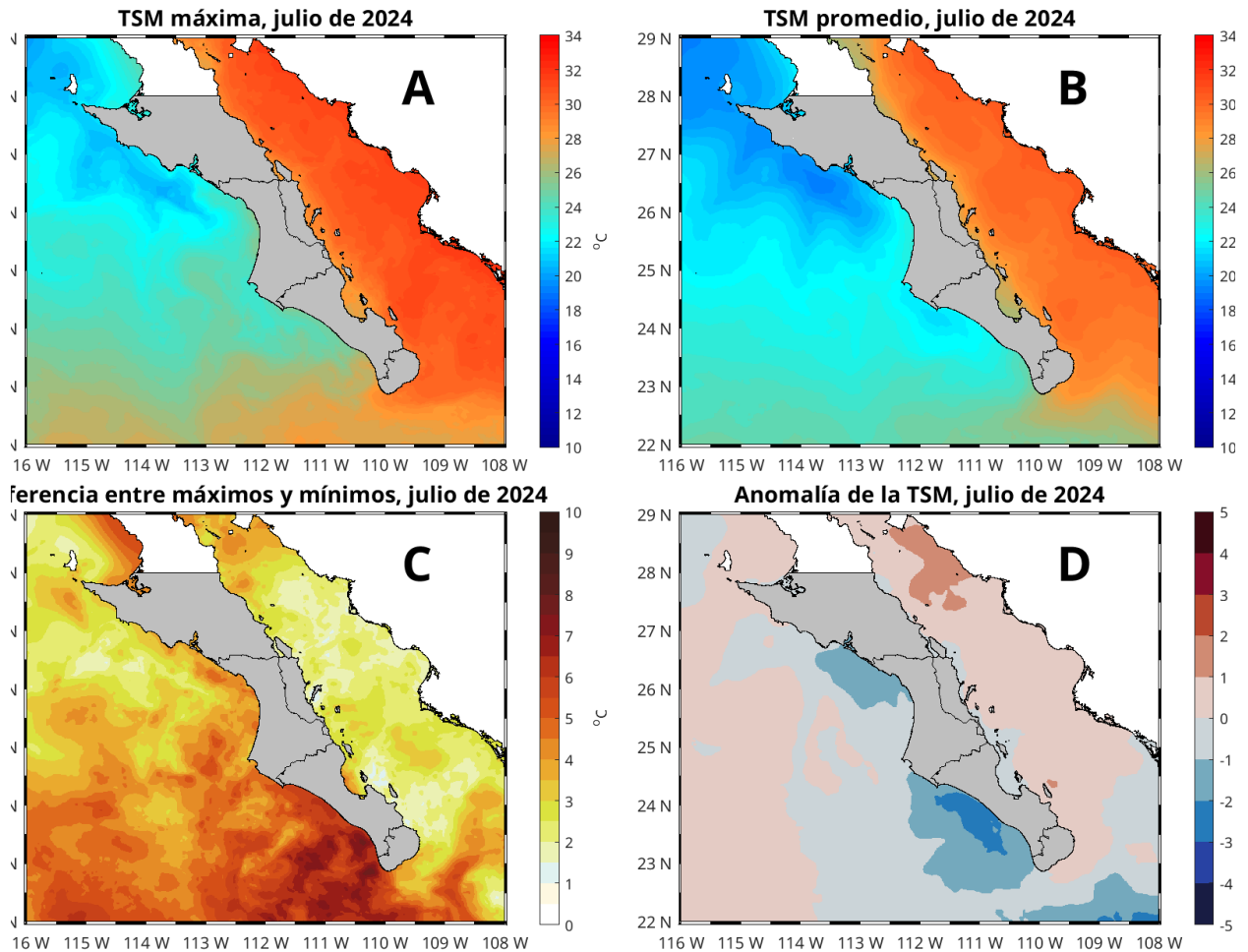


Figura 7: Condiciones de TSM durante el mes de julio de 2024. Panel **A**, máximos, **B** promedio, **C** diferencia entre máximos y mínimos, **D** anomalía.

3.3. Temperatura del aire en el Golfo de California

Los resultados de las anomalías por celda y área, así como la suma parcial de las anomalías se presentan en la Figura 8.

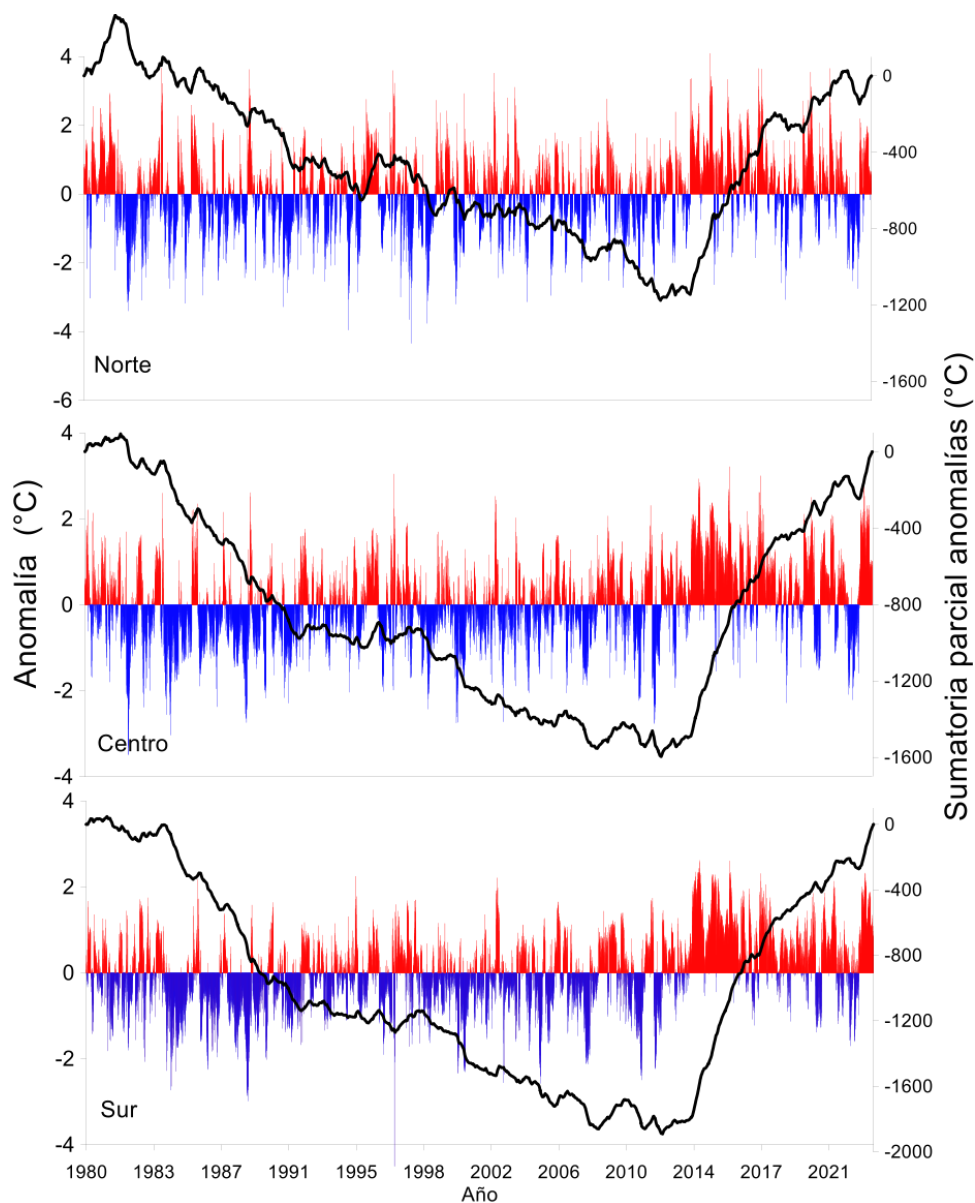


Figura 8: Anomalías mensuales de temperatura a 10 m en grados Centígrados (barras) y sumatoria parcial de las anomalías (línea continua) en las zonas norte, centro y sur del Golfo de California.

Los resultados muestran que a partir de 1982 existió una tendencia negativa de la sumatoria parcial de anomalías en las tres zonas que indica la predominancia de anomalías negativas en la serie. Esta tendencia negativa tuvo un mínimo acumulado en las tres zonas en abril de 2012. Para la zona norte, después del mínimo, existió una tendencia casi horizontal de la serie hasta diciembre de 2013, cuando empieza una tendencia casi continua y positiva. La serie tuvo un periodo de estabilidad horizontal de agosto de 2018 a mayo de 2020 y posteriormente una disminución de julio de 2022 a julio de 2023. Sin embargo, la serie termina con una tendencia positiva fuerte hasta febrero de 2024.

Para la zona centro el periodo de tendencia horizontal después del mínimo se observó

hasta octubre de 2013, y desde entonces la tendencia de la suma parcial ha sido casi positiva con una disminución por la presencia de anomalías negativas de septiembre de 2022 a junio de 2023 y posteriormente una tendencia positiva fuerte hasta febrero de 2024.

Para la zona sur el comportamiento es muy similar a la zona centro, con una tendencia casi horizontal después del mínimo que termina en diciembre de 2013 y una continua tendencia positiva también interrumpida por anomalías negativas en el mismo periodo que la zona centro, reiniciando con una fuerte tendencia positiva hasta febrero de 2024.

Considerando solo los datos de enero de 2014 a febrero de 2024, para la zona norte se han observado 1666 celdas con anomalías positivas y 774 celdas con anomalías negativas (media 0.84 °C y -0.50 °C). Para la zona centro en el mismo periodo se han observado 1880 celdas con anomalías positivas y 560 celdas con anomalías negativas (media 0.88 °C y -0.47 °C). Para la zona sur en el mismo periodo se han observado 2185 celdas con anomalías positivas y 499 celdas con anomalías negativas (media 0.85 °C y -0.36 °C).

En resumen, los datos indican que el Golfo de California se encuentra en un periodo de calentamiento que empezó en 2014 y continúa hasta febrero de 2024.

3.4. Cabo Pulmo

3.4.1. Series de tiempo

Las condiciones climatológicas y anomalías de TSM, CLO y ANM a lo largo del tiempo (2002- 2024) para Cabo Pulmo se muestran en la figura 9. Los paneles **A**, **C** y **E**, muestran las climatologías mensuales, las líneas negras indican los valores en 2024 (hasta julio). Los paneles **B**, **D** y **F** muestran las anomalías a lo largo del tiempo, la línea negra indica los datos del ONI (Índice oceánico de El Niño).

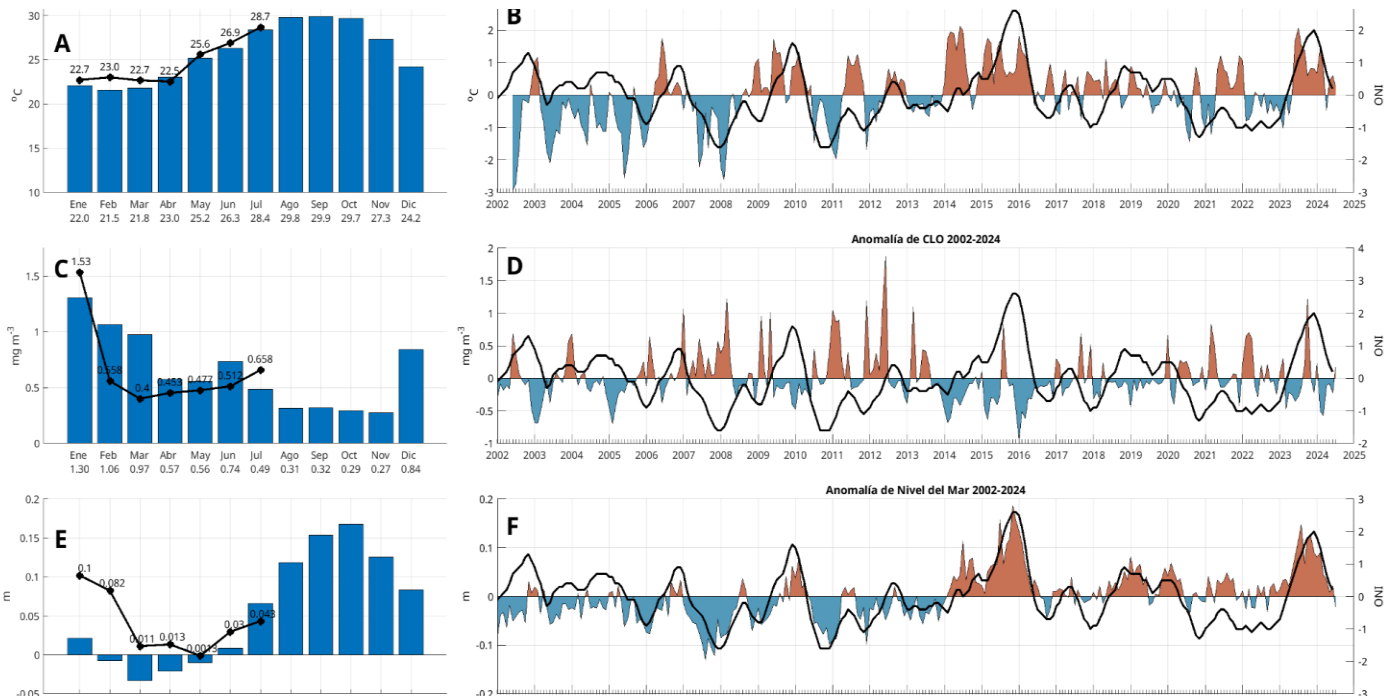


Figura 9: Climatologías mensuales y anomalías interanuales de TSM, CLO y ANM durante julio de 2024 en Cabo Pulmo. Las barras azules en los paneles **A**, **C** y **E** son las climatologías mensuales de cada variable. Los números en la base de las barras indican los valores de cada mes. Los círculos negros y el valor numérico indican los valores mensuales de 2024 hasta julio. Las series de tiempo de los paneles **B**, **D** y **F** representan las anomalías interanuales, la línea negra es el ONI.

En julio, la TSM tuvo un valor promedio de 28.7 °C, superior en 0.3 °C en comparación con su valor climatológico de 28.4 °C, mayor en 1.8 °C respecto a junio. El valor mensual más reciente del ONI es el de mayo-junio-julio, con un valor de +0.2, lo que indica condición neutral, terminando con la presencia del efecto de El Niño en la región (figura 9 **A** y **B**). Las anomalías positivas que iniciaron en julio de 2023 se mantuvieron hasta marzo, en abril se registró un valor negativo de -0.46 °C, desde mayo iniciaron nuevamente las anomalías positivas.

En julio, la CLO presentó un valor de 0.658 mg·m⁻³, superior en 0.16 mg·m⁻³ respecto al promedio climatológico de 0.49 mg·m⁻³ (figura 9 **C** y **D**); en comparación con mayo el valor mensual aumentó 0.16 mg·m⁻³. Esto es un aumento respecto a los meses anteriores y no es consistente con condiciones El Niño, adversas para el fitoplancton, al parecer las condiciones favorables fueron muy diferentes a las del mes pasado en la región.

En julio, la ANM registró un valor de 0.043 m, inferior a su valor climatológico de 0.07 m (figura 9 **E** y **F**), mayor en comparación con junio (0.003 m). Desde octubre de 2022, las anomalías positivas dominaron la serie, este es el primer mes con anomalía negativa.

La figura 10 contiene la serie de tiempo del nivel del mar absoluto (m) en Cabo Pulmo,

desde enero de 1993 hasta julio de 2024. La variación estacional consiste en la elevación del nivel del mar en verano y el descenso en invierno. Sin embargo, destacan los máximos de 1997-1998, asociado a un evento de El Niño, el de 2014 debido al Blob cálido, y el de 2015 debido a otro evento El Niño. El año 2023 se encuentra entre los máximos del registro por 2 razones: a) el evento El Niño que calentó el Pacífico Tropical Oriental y, b) el incremento del nivel del mar por calentamiento global. Ambos fenómenos contribuyen a la elevación del nivel del mar que se reporta aquí. El incremento del nivel del mar debido al calentamiento global en esta localidad tiene una tendencia de 2.6 mm/año, para un total de 83 mm en los 32 años de registro. Durante el mes de julio continúa la elevación del nivel del mar rumbo al verano.

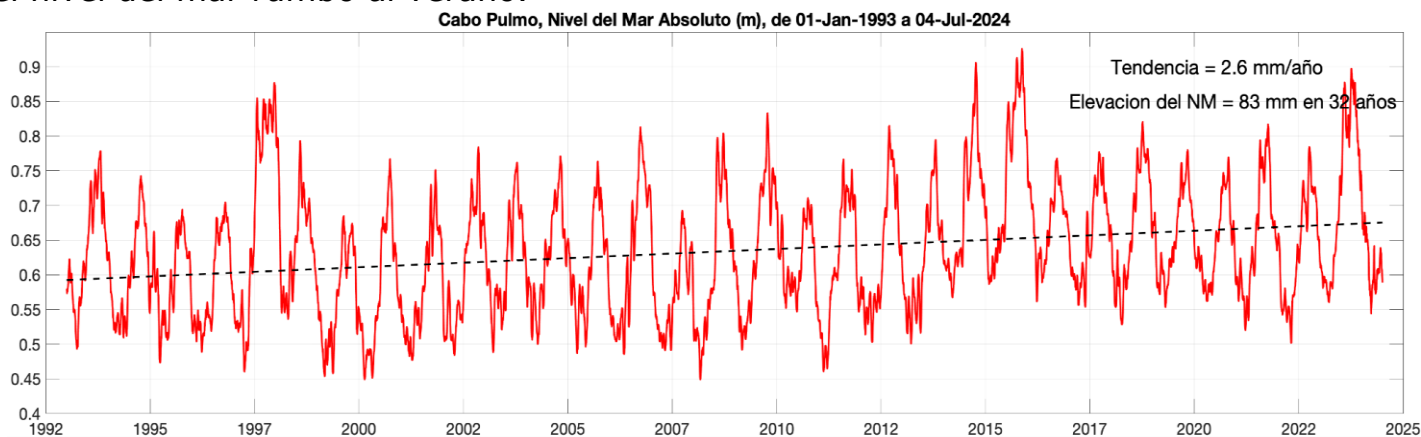


Figura 10: Nivel del mar absoluto (m) en Cabo Pulmo, BCS. Inicia en enero de 1993 y termina en julio de 2024. Incluye el nivel del mar con referencia al geode y la tendencia de largo período debida al calentamiento global.

3.4.2. Viento (VTO) *in situ*

Durante el mes de julio de 2024 el patrón característico de los vientos, en la región de Cabo Pulmo, no muestra algún patrón atípico en la zona de acuerdo con el patrón normal de los vientos dado por la climatología (2014-2024). Se observa que la componente Noroeste del viento en la zona se atenuó ligeramente (figura 11).

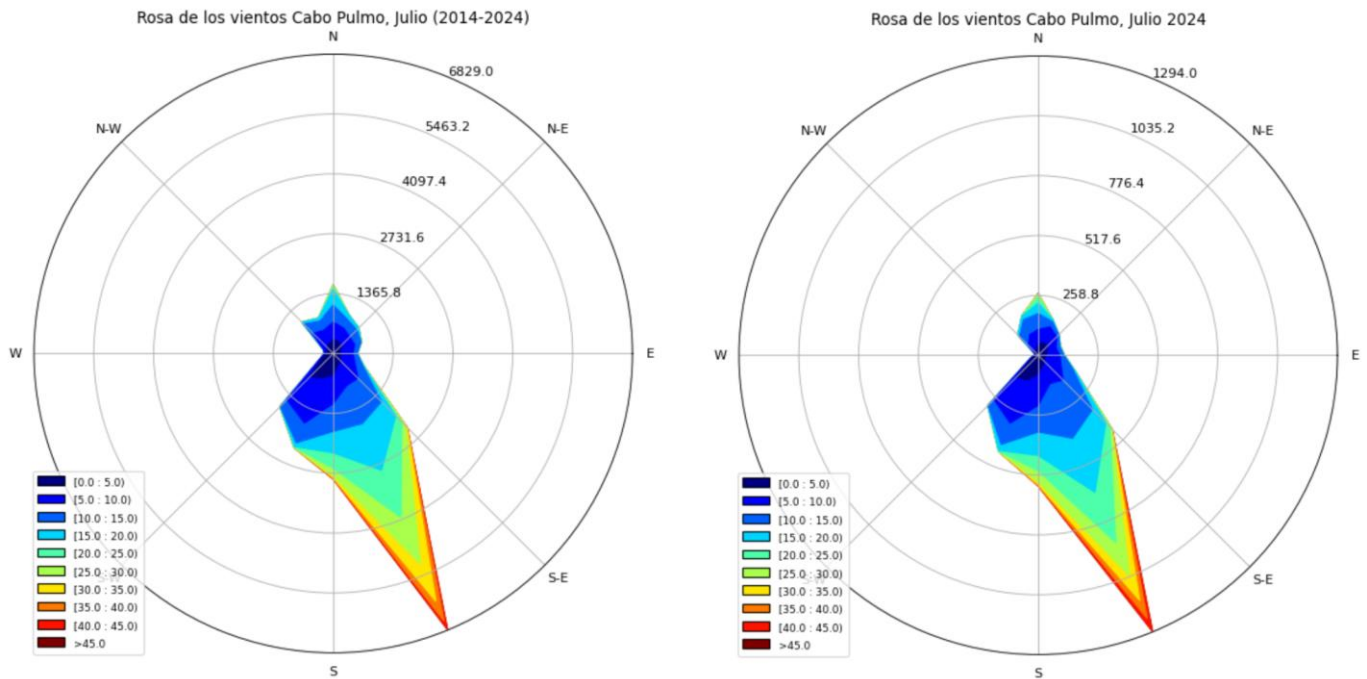


Figura 11: Climatología vs. observaciones de la dirección e intensidad de los vientos en la estación Cabo Pulmo durante el mes de julio de 2024.

La intensidad del viento *in situ* registrada durante el mes de julio de 2024, en Cabo Pulmo, muestra cómo los vientos atípicos por arriba de los 40 km/h fueron más evidentes en comparación al año anterior. Sin embargo, aunque los eventos intensos para este mes de julio de 2024 son destacables, el número de eventos con valores extremos no alcanza la intensidad de los valores extremos observados en los años 2014 y 2015 (figura 12, *outliers*). Durante julio de 2024 el rango intercuartil se asemeja un poco a lo ocurrido en 2016 con una mediana alrededor de los 10 km/h.

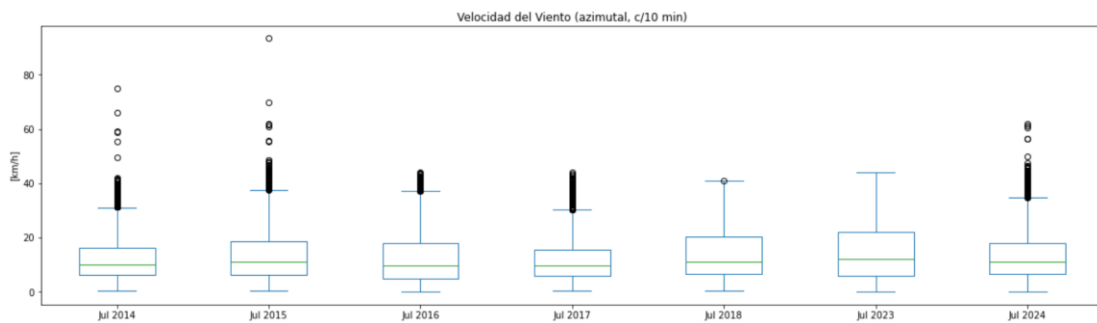


Figura 12: Análisis de cajas de la intensidad de los vientos en la estación Cabo Pulmo durante el mes de julio de 2024. Se puede notar que la distribución estadística de la intensidad del viento tiende a ser una distribución normal con una mediana alrededor de los 10 km/h. Los valores de viento atípico están dados en el gráfico de cajas por los *outliers* (círculos en negro).

3.4.3. Paisaje Pelágico (CP)

El paisaje pelágico en Cabo Pulmo y zonas adyacentes, muestran una estacionalidad bien definida (figura 13a). De enero a agosto, la categoría H15 suele disminuir del 80 al 16 %, para volver a extenderse hasta casi el 70 % hacia diciembre. El predominio de H15 indica temperatura superficial promedio cercana a 25.35 °C, salinidad de 35.4 ups, y concentración de clorofila de 0.32 mg·m⁻³. En sentido opuesto, H3 se expande de febrero (<5 %) a agosto (60 %) y se define por una temperatura superficial cercana a los 24.12 °C, salinidad de 35.34 ups y 0.15 mg·m⁻³ de clorofila.

En el periodo enero-junio de 2024, se observa una contracción drástica de H15 respecto a las condiciones promedio, llegando a desaparecer de la zona entre abril y mayo. El colapso de H15 ha sido acompañado por la expansión de H3 (hasta 60%), junto con H11 (>20%; figura 13a). Otros hábitats pelágicos menos dominantes también presentaron comportamientos anómalos entre enero y junio de 2024, aunque en todos los casos se aprecia un retorno gradual hacia las condiciones promedio conforme nos acercamos al verano. La figura 13b muestra el predominio de H3 en la porción oceánica y una mayor diversidad de hábitats pelágicos hacia la costa (ej. H15, H11, H3, H21).

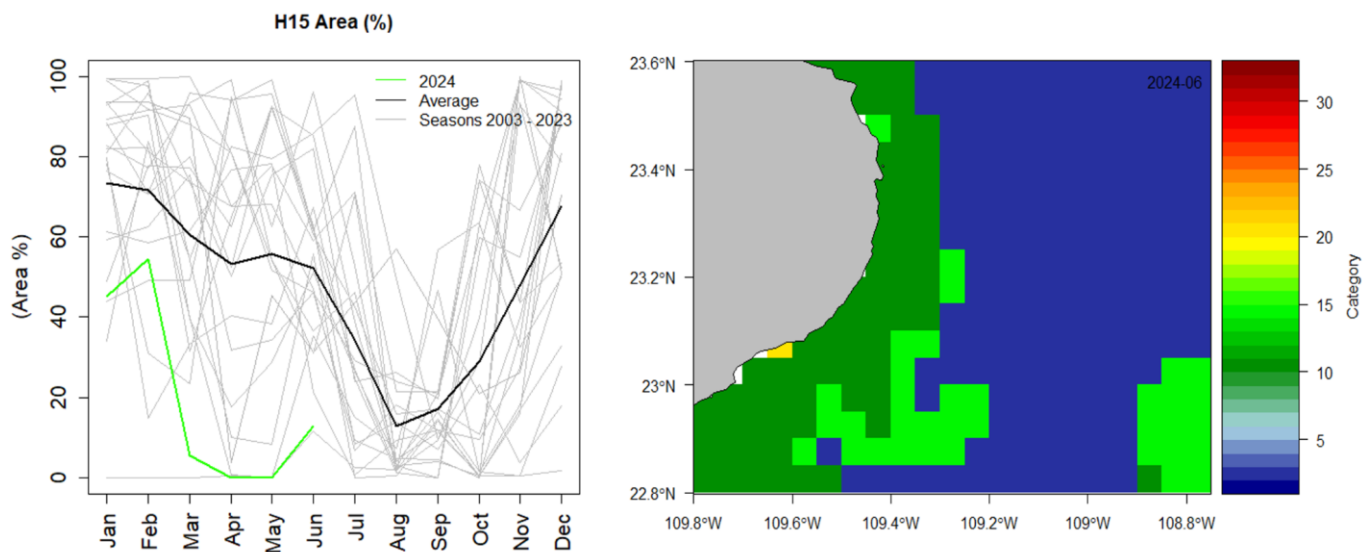


Figura 13: Paisaje Pelágico frente a Cabo Pulmo. a) Panel izquierdo: Comportamiento estacional del hábitat dominante H15 (2003-2024). b) Panel derecho: Distribución espacial promedio de los hábitats pelágicos durante junio de 2024.

3.4.4. Fitoplancton

Las climatologías de los grupos fitoplanctónicos representativos, diatomeas, dinoflagelados y cocolitofóridos, se presentan en la figura 14. Los datos diarios han sido recopilados del Servicio de Vigilancia Marina Copernicus (CMEMS). Las barras azules indican las climatologías de enero a diciembre del periodo 2002-2023, mientras que los puntos negros muestra el promedio mensual de enero a julio de 2024. Los resultados indican que el promedio mensual de las concentraciones de diatomeas y dinoflagelados han incrementado de abril a julio, igualando el promedio climatológico, y en particular para cocolitofóridos el promedio mensual es mayor en julio.

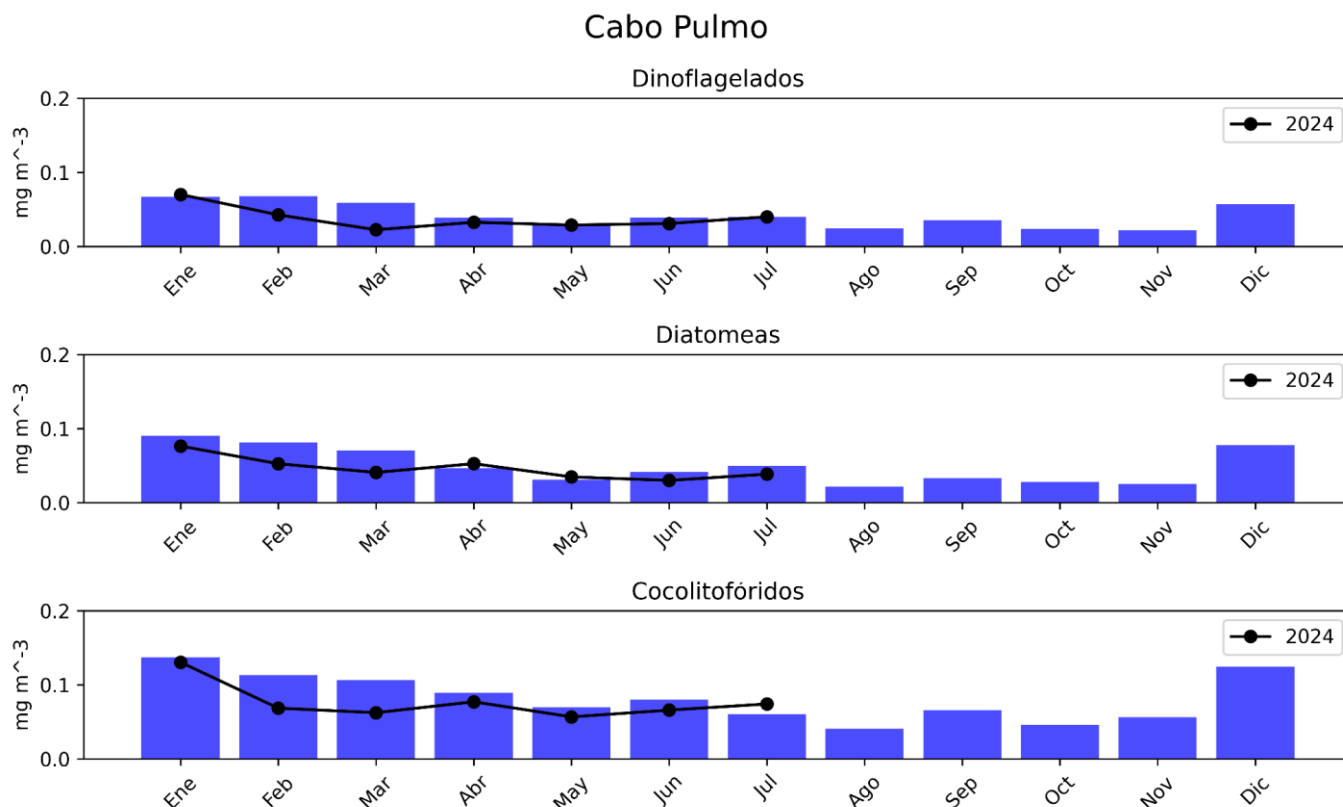


Figura 14: Climatologías de la concentración de grupos fitoplanctónicos expresada en CLO en el agua de mar en Cabo Pulmo durante julio de 2024.

3.5. Bahía de La Paz

3.5.1. Series de tiempo

Las condiciones climatológicas y anomalías de TSM, CLO y ANM a lo largo del tiempo (2002-2024) para La Paz se muestran en la figura 15. Los paneles **A**, **C** y **E**, muestran las climatologías mensuales, las líneas negras indican los valores en 2024 (hasta julio). Los paneles **B**, **D** y **F** muestran las anomalías a lo largo del tiempo, la línea negra indica los datos del ONI.

La TSM, desde julio de 2023, y hasta junio de 2024, estuvo por encima de sus valores climatológicos. Sin embargo, a partir de julio se presentó la primera anomalía negativa en este periodo, con un valor $-0.5\text{ }^{\circ}\text{C}$, producto de un valor mensual de $26.3\text{ }^{\circ}\text{C}$, menor

a su valor climatológico de 26.8 °C; en comparación de junio hubo un aumento de +2.0 °C. Se debe señalar que desde abril y hasta julio, los valores, aunque anómalos, están relativamente cerca de sus valores climatológicos. Esto sugiere que estamos en condiciones más bien neutrales, es decir, sin la influencia de El Niño en la región. Al respecto, el valor del ONI de mayo-junio-julio es de +0.2 (figura 15 A y B).

En julio de 2024, la CLO registró un valor de 1.66 mg·m⁻³, superior respecto a los 0.99 mg·m⁻³ de su valor climatológico, pero menor en comparación de los 2.36 mg·m⁻³ de junio. Este es el primer mes de 2024 con anomalías positivas (+0.67 mg·m⁻³). Al parecer, el debilitamiento de El Niño registrado en la TSM se empieza a notar en la CLO en julio, que, aunque tiene un valor mensual menor que en junio, su valor es anómalamente positivo (figura 15 C y D).

En julio de 2024, las ANM registraron un valor de 0.069 m, prácticamente igual a su valor climatológico de 0.07 m. A pesar de que este mes registra la primera anomalía positiva, la diferencia es marginal, más bien podemos decir que julio está en condiciones normales o neutras. (figura 15 E y F).

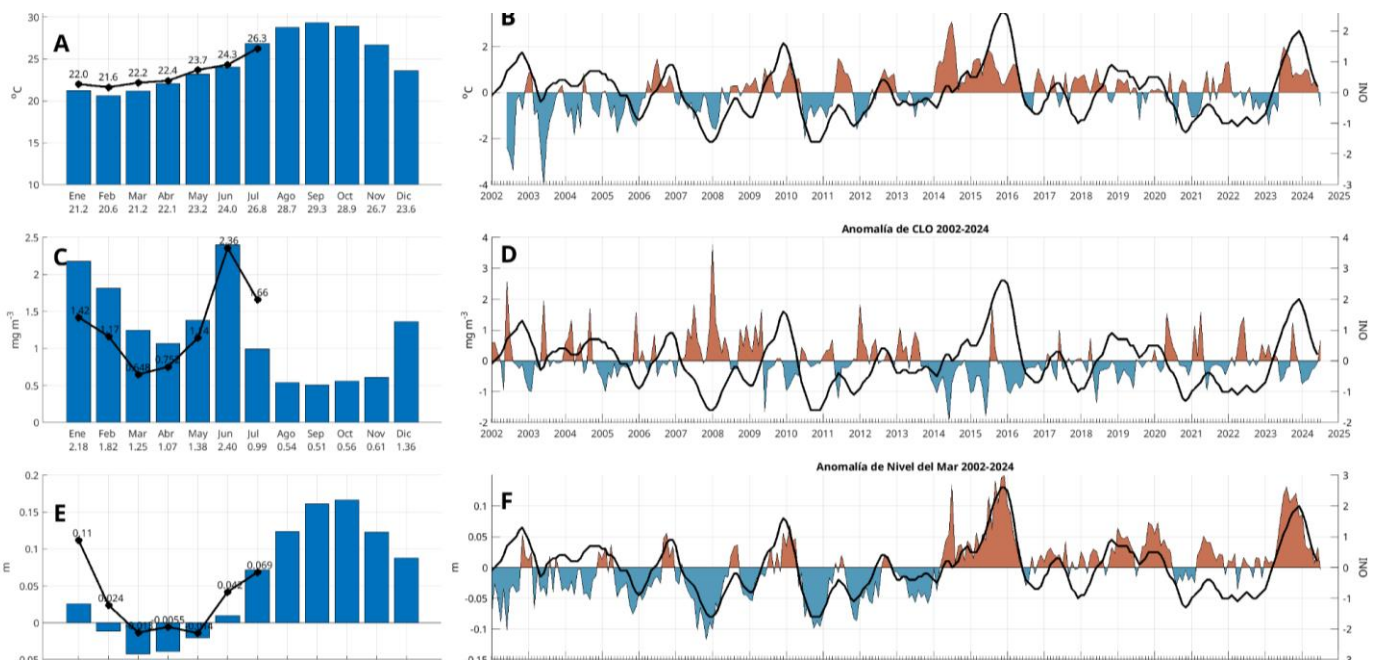


Figura 15: Climatologías mensuales y anomalías interanuales de TSM, CLO y ANM durante julio de 2024 en La Paz. Las barras azules en los paneles A, C y E son las climatologías mensuales de cada variable. Los números en la base de las barras indican los valores de cada mes. Los círculos negros y el valor numérico indican los valores mensuales de 2024 hasta julio. Las series de tiempo de los paneles B, D y F representan las anomalías interanuales, la línea negra es el ONI.

La figura 16 contiene la serie de tiempo del nivel del mar absoluto (m) en Bahía de la Paz, desde enero de 1993 hasta julio de 2024. La variación estacional consiste en la elevación del nivel del mar en verano y el descenso en invierno. Sin embargo, destacan

los máximos de 1997- 1998, asociado a un evento de El Niño, el de 2014 debido al Blob cálido, y el de 2015 debido a otro evento El Niño. El año 2023 se encuentra entre los máximos del registro por 2 razones: a) el evento El Niño que calentó el Pacífico Tropical Oriental y, b) el incremento del nivel del mar por calentamiento global. Ambos fenómenos contribuyen a la elevación del nivel del mar que se reporta aquí. El incremento del nivel del mar debido al calentamiento global en esta localidad tiene una tendencia de 2.4 mm/año, para un total de 77 mm en los 32 años de registro. En julio de 2024 el nivel del mar sigue aumentando hacia el máximo de verano.

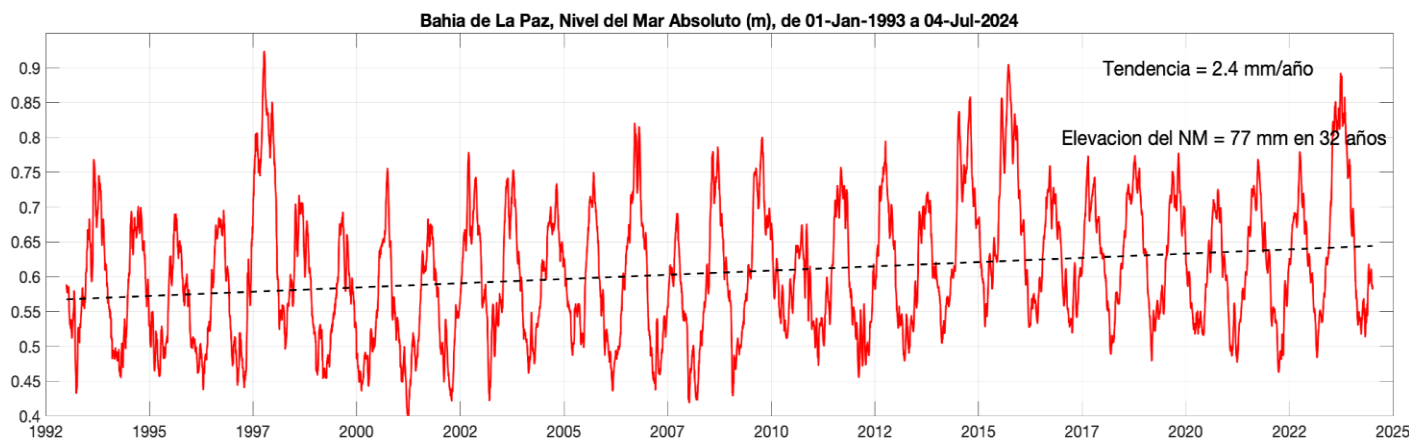


Figura 16: Nivel del mar absoluto (m) en Bahía de La Paz, BCS. Inicia en enero de 1993 y termina en julio de 2024. Incluye el nivel del mar con referencia al Geoide. Incluye la tendencia de largo período debida al calentamiento global.

3.5.2. Condiciones Meteorológicas registradas en la Bahía de La Paz: Estación Meteorológica: La Paz. Período: Junio-Julio de 2024.

Temperatura del aire (T_{air})

La figura 17, muestra en (a) la serie de tiempo de la temperatura del aire (T_{air}) registradas en la Estación ubicada en las inmediaciones del malecón de **La Paz**, con registros continuos cada 2 horas durante el período 01 junio al 31 de julio de 2024. Se continúa observando un incremento de la temperatura del aire, propia del verano, superando los 39° C (valores máximos, 39.4° C) durante la primera y tercera semana de julio (08, 09 y 27 de julio) y valores promedio de 28.7° con temperaturas mínimas de 16.5 ° C a principios de junio (3-7 de junio), asociados al ingreso de los últimos frentes fríos de la temporada y el aporte de humedad del Pacífico.

Humedad Relativa (H_r)

La figura 17, muestra en (b) la serie de la humedad relativa (H_r) registrada en la Estación **La Paz** presenta valores máximos de 92, valores promedio de 53 y mínimos de 12 por ciento (02 de junio), asociado a pequeños periodos de vientos débiles del sur y suroeste (primera semana de junio) que ingresan por el sur proveniente del Pacífico,

característica principal observada a finales de la primavera.

Velocidad y Rachas de viento (m s^{-1})

La figura 17, muestra en (c) los valores de velocidad (línea en negro) y rachas (línea punteada en rojo) del viento registrados en la Estación **La Paz**, donde se muestran valores máximos de rachas de viento de 11 m s^{-1} asociados a eventos de moderados a fuertes de viento del suroeste en períodos cortos de tiempo (5 a 7 días) principalmente (del 3 al 6 y 19 al 23 de junio) y algunos observados a finales de julio (23 al 30 de julio), característicos del verano. Se observan intervalos (16 al 19 de junio, 18 al 24 de julio) de eventos de rachas de viento del suroeste (~ 2 a 4 m s^{-1}) relacionados con el ingreso de aire húmedo y fresco del Pacífico y al cambio en la dirección del viento asociado a la presencia del monzón de Norte América.

Dirección del vector viento (m s^{-1})

La figura 17, muestra en (c) la dirección del viento en forma de vectores registrados en la Estación **La Paz** correspondientes al período 01 junio al 31 de julio de 2024. La dirección predominante del viento fue dominada por la dirección del suroeste, asociada con la temporada de inicio del verano, con la presencia de algunos períodos constantes de vientos moderados del suroeste (inicio del verano) cuando el viento presenta su carácter monzónico asociado con el ingreso de aire húmedo y fresco proveniente del Pacífico.

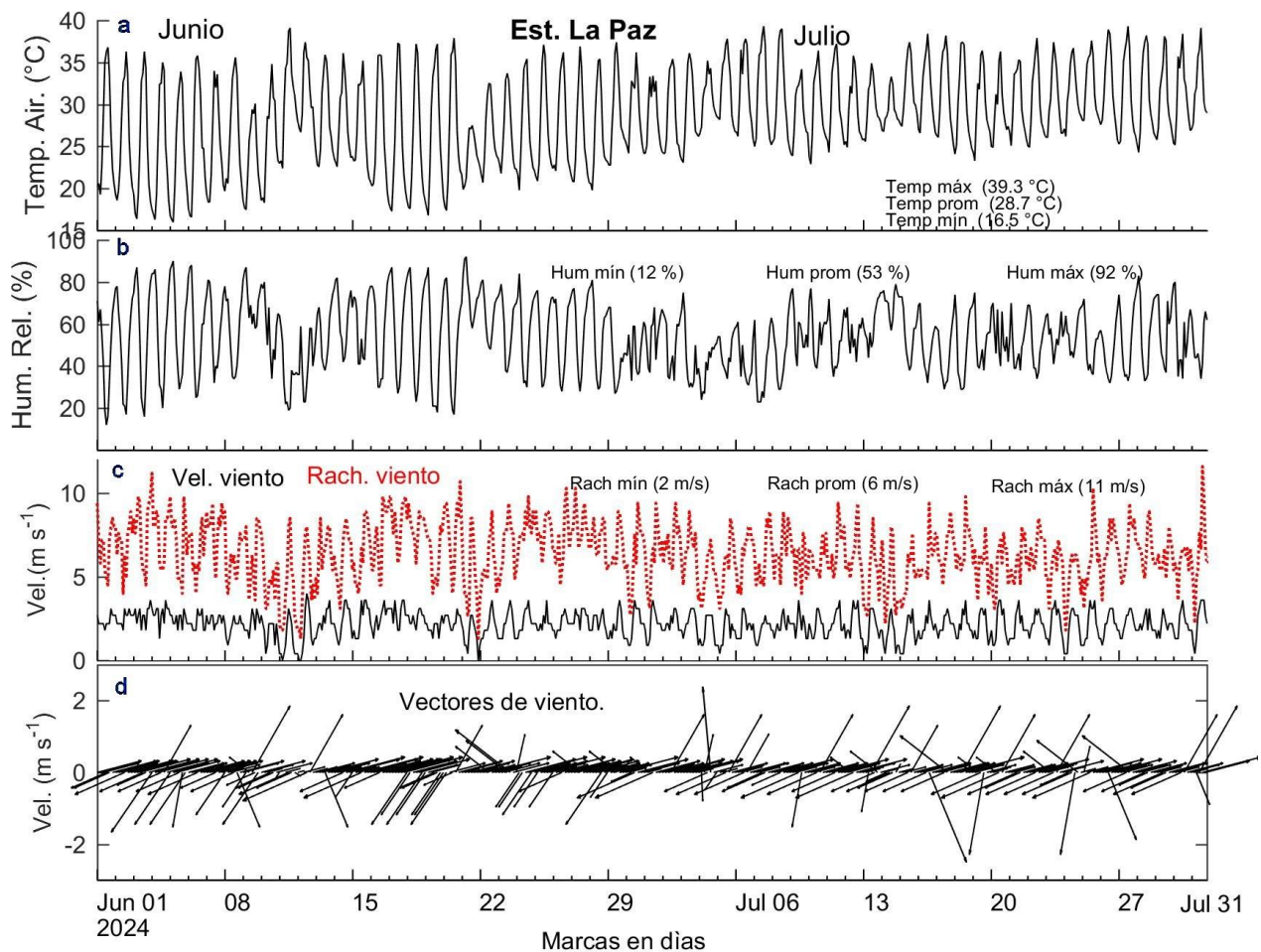


Figura 17: Series de tiempo de: (a) Temperatura del aire, (b) Humedad Relativa, (c) Velocidad (en negro) y Rachas (línea punteada en rojo) del viento y (d) la dirección del vector del viento registrado en la Estación **La Paz**, al sur de la bahía de La Paz y cubriendo el período del 01 junio al 31 de julio de 2024.

La figura 18, muestra en forma de rosas de los vientos en: (a) la dirección predominante y en (b) la frecuencia de ocurrencia en la dirección del viento (medido cada 10 grados) medido cada 2 horas en la estación **La Paz** durante el período del 01 junio al 30 de julio, 2024. La dirección predominante, fue del 3er, cuadrante asociado al viento característico de la temporada final de la primavera y del verano relacionado con períodos cortos de tiempo (4 a 7 días) del ingreso de aire fresco y húmedo del Pacífico (del sur y sureste) relacionado con el cambio a condiciones monzónicas de verano. Los vectores en rojo en b indican los ejes principales promedio de la máxima y mínima varianza del viento registrado durante este período.

Velocidad y Dirección del viento (a)

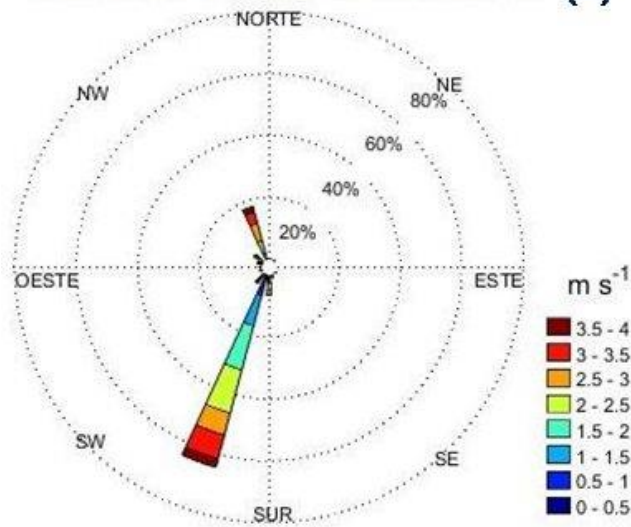


Figura 18: muestra en forma de rosas de los vientos en: (a) la dirección predominante del viento y en (b) la frecuencia de ocurrencia en la dirección del viento (medido como vectores cada 10 grados) medido en la estación **La Paz** durante el período del 01 junio al 30 de julio de 2024. La dirección predominante, fue del 3er, cuadrante asociado al viento característico de la temporada final de la primavera y del verano relacionado con períodos cortos de tiempo (4 a 7 días) del ingreso de aire fresco y húmedo del Pacífico (del sur y sureste) relacionado con el cambio a condiciones monzónicas de verano. Los vectores en rojo en b indican los ejes principales promedio de la máxima y mínima varianza del viento.

3.5.3. Viento (VTO) *in situ* en la ciudad de La Paz, BCS¹

Se observa que durante el mes de julio de 2024 el patrón característico de los vientos dentro de la ciudad de La Paz (figura 19) muestra una contribución más clara de los vientos provenientes del Sur en comparación con el patrón promedio característico de los últimos ocho años correspondiente a dicho mes. Se nota también una aportación más marcada de los vientos del Noroeste que en general no logran superar los 15 km/h.

¹ NO SE ACTUALIZO POR FALTA DE DATOS

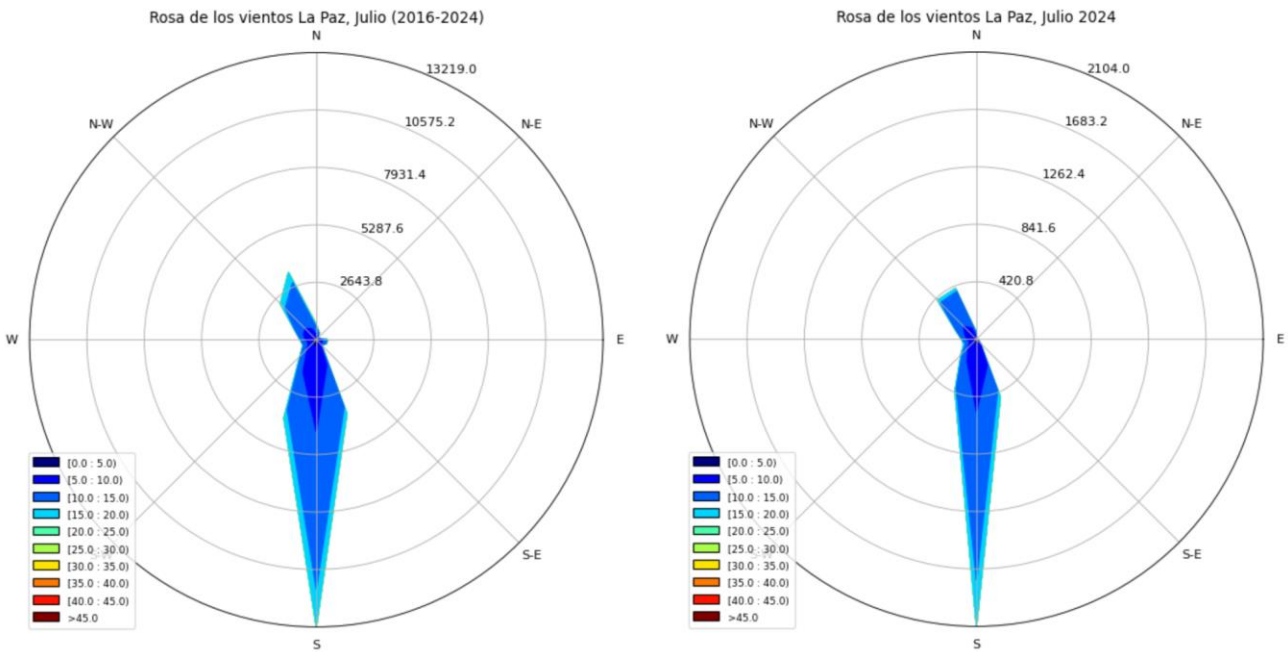


Figura 19: Climatología vs. observaciones de la dirección e intensidad de los vientos en la estación ESIME de La Paz durante julio de 2024.

La intensidad del viento registrada *in situ* en este punto de la ciudad de La Paz durante el mes de julio de 2024 no muestra eventos relevantes en comparación con aquellos ocurridos durante el mismo mes en 2022 (figura 20, *outliers*). De acuerdo con la mediana de los datos, la intensidad del viento para este mes rebasa por poco los 10 km/h y el 75 % de los valores apenas alcanza los 20 km/h, patrón que es regular en lo observado en este sitio entre 2016 y 2024 según los rangos intercuartiles dados por los Boxplots en la Figura 20. También se observa como los meses de julio de 2017, 2018 y 2020 tienen valores bajos de viento similares a lo ocurrido en julio de 2024.

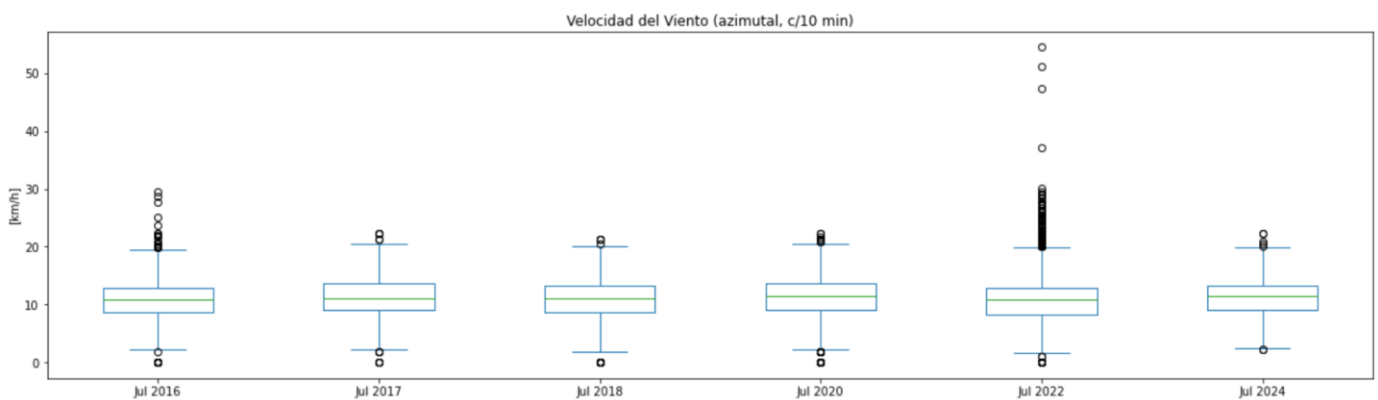


Figura 20: Análisis de cajas de la intensidad de los vientos en la ciudad de La Paz, BCS, durante el mes de julio de 2024. Los valores de viento atípico u *outliers* se muestran con círculos en negro en la figura.

3.5.4. Paisaje Pelágico (BLP)

El hábitat pelágico H15 es dominante en la Bahía de La Paz, presentando dos expansiones en el año, la primera en abril-mayo y la segunda en octubre-diciembre cuando puede ocupar hasta más del 90 % del área de la bahía y la zona adyacente (figura 21a). La categoría H15 se conforma en torno a condiciones de temperatura superficial de 25.35 °C, salinidad de 35.4 ups, y concentración de clorofila de 0.32 mg·m⁻³.

Entre enero y marzo de 2024 se observó en Bahía de La Paz un aumento anómalo de hábitats pelágicos, al parecer en respuesta a la contracción de la categoría H21 que suele abarcar entre el 40 y 60% del área considerada. H21 pasó de ocupar el 100% en enero, a menos del 10% en marzo, contrastando con el 50% que suele cubrir a finales del primer trimestre bajo condiciones regulares (figura 21a). En el mapa se aprecia que H21 ocupa aún una porción importante de la costa, mientras que H15, H13 y H11 cubren la mayor parte del área considerada (figura 21b). La presencia de estos hábitats son indicadores de una ligera disminución de la temperatura y concentraciones intermedias de clorofila respecto a las condiciones promedio.

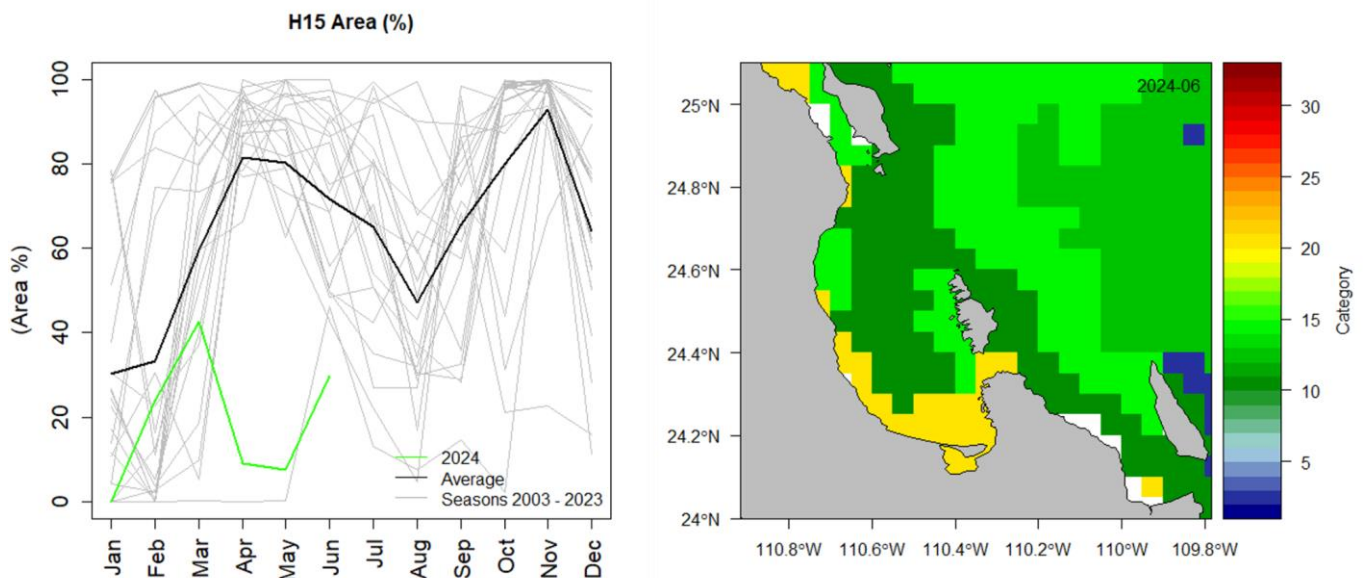


Figura 21: Paisaje Pelágico en la Bahía de La Paz. a) Panel izquierdo: Comportamiento estacional del hábitat H15 (2003-2024). b) Panel derecho: Distribución espacial promedio de los hábitats pelágicos en junio de 2024.

3.5.5. Fitoplancton

Las concentraciones climatológicas de los grupos fitoplanctónicos representativos, diatomeas, dinoflagelados y cocolitofóridos, se presentan en la figura 22. Los datos diarios

han sido recopilados del Servicio de Vigilancia Marina Copernicus (CMEMS). Las barras azules indican las climatologías de enero a diciembre del periodo 2002-2023, mientras que los puntos negros muestra el promedio mensual de enero a julio de 2024. Los resultados indican que el promedio mensual de las concentraciones de dinoflagelados y cocolitofóridos han incrementado en julio, igualando el promedio climatológico, y en particular las concentraciones de diatomeas es mayor.

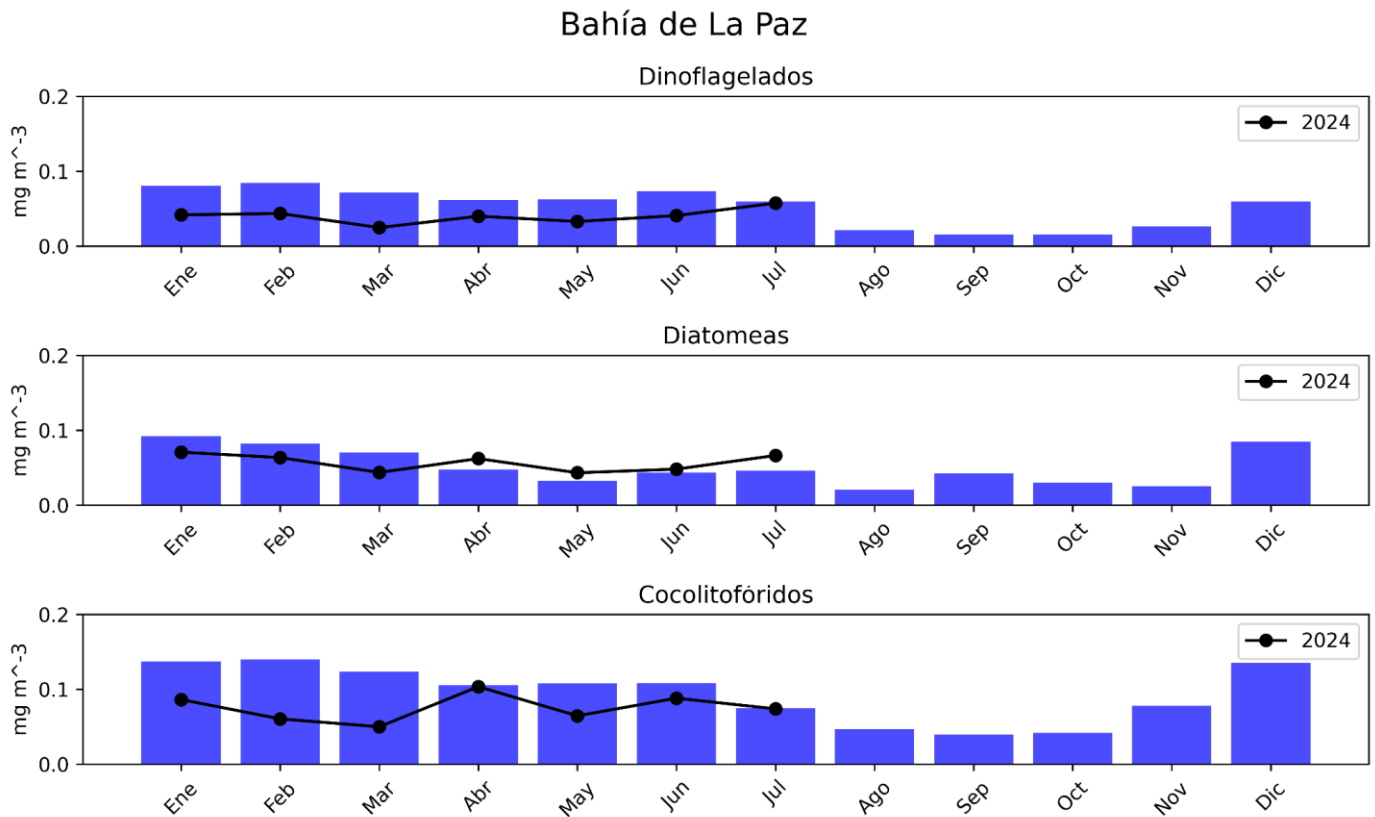


Figura 22: Climatologías de la concentración de grupos fitoplanctónicos expresada en CLO en el agua de mar en Bahía de La Paz durante julio de 2024.

3.6. San Juanico, Golfo de Ulloa

3.6.1. Series de tiempo

Las condiciones climatológicas y anomalías de TSM, CLO y ANM a lo largo del tiempo (2002- 2024) para San Juanico se muestran en la figura 23. Los paneles **A**, **C** y **E**, muestran las climatologías mensuales, las líneas negras indican los valores en 2024 (hasta julio). Los paneles **B**, **D** y **F** muestran las anomalías a lo largo del tiempo, la línea negra indica los datos del ONI.

En julio de 2024 la TSM registrada fue de 22.2 °C, por debajo en -0.8 °C respecto de su valor climatológico de 23.4 °C y mayor a los 19 °C de junio. Desde abril, las anomalías de TSM son negativas, lo que parece indicar la ausencia de El Niño en la región del Golfo de Ulloa, (figura 23 **A** y **B**).

El valor registrado de CLO para julio de 2024 fue de $9.54 \text{ mg}\cdot\text{m}^{-3}$, muy superior respecto a los $5.65 \text{ mg}\cdot\text{m}^{-3}$ de su valor climatológico, pero inferior a los $14.7 \text{ mg}\cdot\text{m}^{-3}$ de junio (figura 23 C y D). Mayo, junio y julio han presentado anomalías muy por encima de sus climatologías. Esta es la región de muestreo más al norte de BCS, al parecer la presencia de El Niño ya no se percibe y esto se refleja en condiciones favorables y sus respectivas anomalías positivas de clorofila.

El valor de la ANM durante el mes julio de 2024 fue de 0.034 m , inferior respecto a su valor climatológico de 0.05 m , lo que indica una anomalía negativa de 0.029 . Las anomalías positivas, con una clara tendencia a la baja desde inicios de 2022, finalmente terminaron en julio (figura 23 E y F).

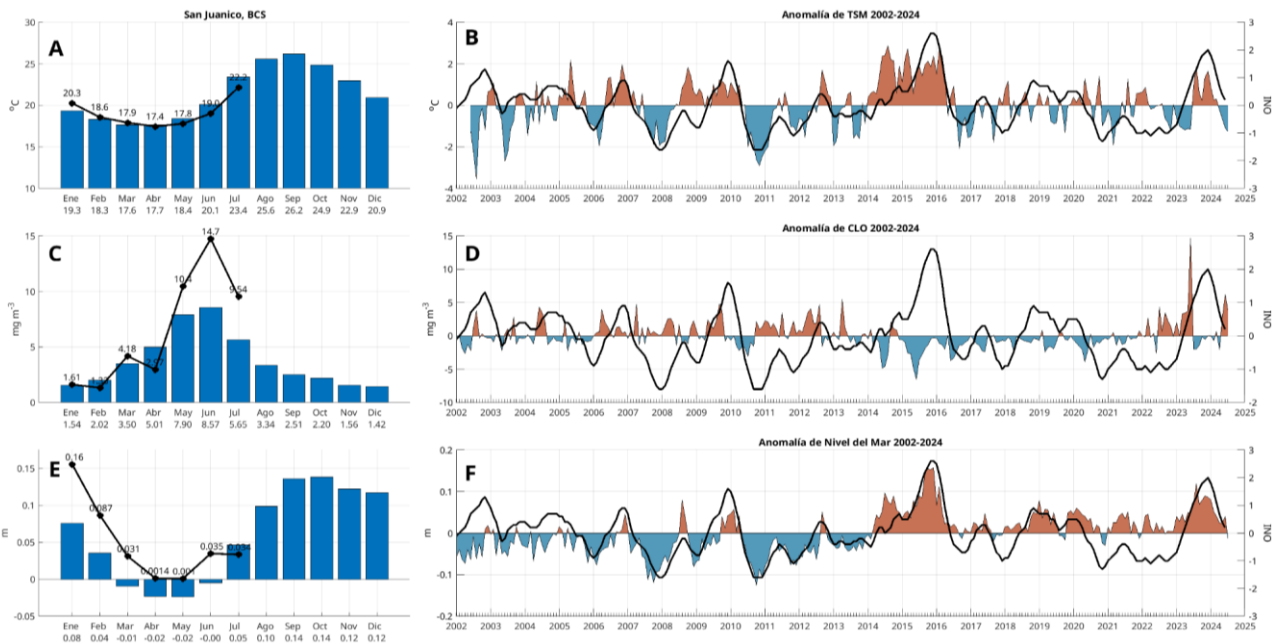


Figura 23: Climatologías mensuales y anomalías interanuales de TSM, CLO y ANM durante julio de 2024 en San Juanico. Las barras azules en los paneles A, C y E son las climatologías mensuales de cada variable. Los números en la base de las barras indican los valores de cada mes. Los círculos negros y el valor numérico indican los valores mensuales de 2024 hasta julio. Las series de tiempo de los paneles B, D y F representan las anomalías interanuales, la línea negra es el ONI.

La figura 24 contiene la serie de tiempo del nivel del mar absoluto (m) en San Juanico, en la costa del Pacífico de Baja California, desde enero de 1993 hasta julio de 2024. La variación estacional consiste en la elevación del nivel del mar en verano y el descenso en invierno. Sin embargo, destacan los máximos de 1997-1998, asociado a un evento de El Niño, el de 2014 debido al Blob cálido, y el de 2015 debido a otro evento El Niño. En esta localidad el año 2023 no se encuentra entre los máximos del registro. Esto se debe a que el evento El Niño que calentó el Pacífico Tropical Oriental no ejerce tanta influencia en esta latitud de la costa occidental de Baja California. En contraste, el incremento del nivel

del mar debido al calentamiento global en esta localidad tiene una tendencia de 2.8 mm/año, para un total de 87 mm en los 32 años de registro. Esta es la tendencia más pronunciada de los 3 sitios que reportamos aquí. El mes de julio de 2024 continúa la elevación del nivel del mar hacia el máximo de verano. Destacan los veranos de 2007 y 2010 cuando los máximos no superan elevaciones de 0.7 m.

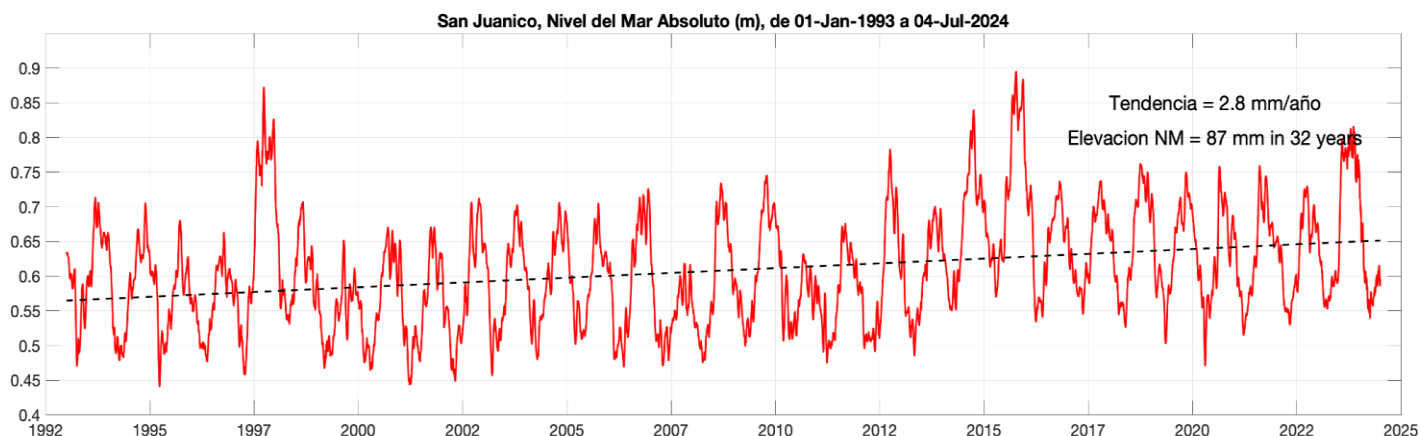


Figura 24: Nivel del mar absoluto (m) en San Juanico, costa pacífica norte de BCS. Inicia en enero de 1993 y termina en julio de 2024. Incluye el nivel del mar con referencia al Geoide. Incluye la tendencia de largo período debida al calentamiento global.

3.6.2. Viento (VTO) *in situ*

En San Juanico, las observaciones del viento *in situ* registradas durante el mes de febrero de 2024 no están disponibles en línea, por lo que no fue posible mostrar este material. Los gráficos de caja tampoco lograron calcularse dada la falta de información de los datos en el sitio web del Servicio Meteorológico Nacional.

3.6.3. Paisaje Pelágico (GU)

El paisaje pelágico del Golfo de Ulloa se caracteriza por su diversidad de hábitats a lo largo del año. La categoría H17, ocupa la mayor área entre enero y abril (35-40%); se define por una temperatura superficial de 20.89 °C, salinidad de 33.59 ups y una concentración de clorofila de 0.17 mg·m⁻³. Por su parte, H21 crece gradualmente de menos del 10% hasta el 30-40% en junio-julio. En condiciones promedio, H15 se expande del 16% en mayo-junio, al 40% en septiembre-octubre (figura 25a).

Las variaciones históricas de H17 indican que en el pasado ya se han presentado otros colapsos del área de este hábitat pelágico, un tanto similares en porcentaje a los de 2006-2007, 2014-2015 y 2015-2016, cuando incluso llegó a desaparecer brevemente (figura 25b). En la porción más oceánica, la reducción de H17 en lo que va del 2024 (enero-junio), ha sido acompañada por la expansión de H7 y H14, lo que sugiere que aumentaron

las áreas ocupadas por aguas más frías ($\sim 9.95 - 12.98$ °C), de mayor salinidad (33.91 - 34.72) y mayor concentración de clorofila ($\sim 0.28 - 0.84$ mg·m⁻³). Bordeando la costa H21 se mantiene cercano a sus valores promedio, indicando el predominio de aguas más cálidas (~ 22.54 °C) y concentraciones elevadas de clorofila (~ 2.09 mg·m⁻³; figura 25b).

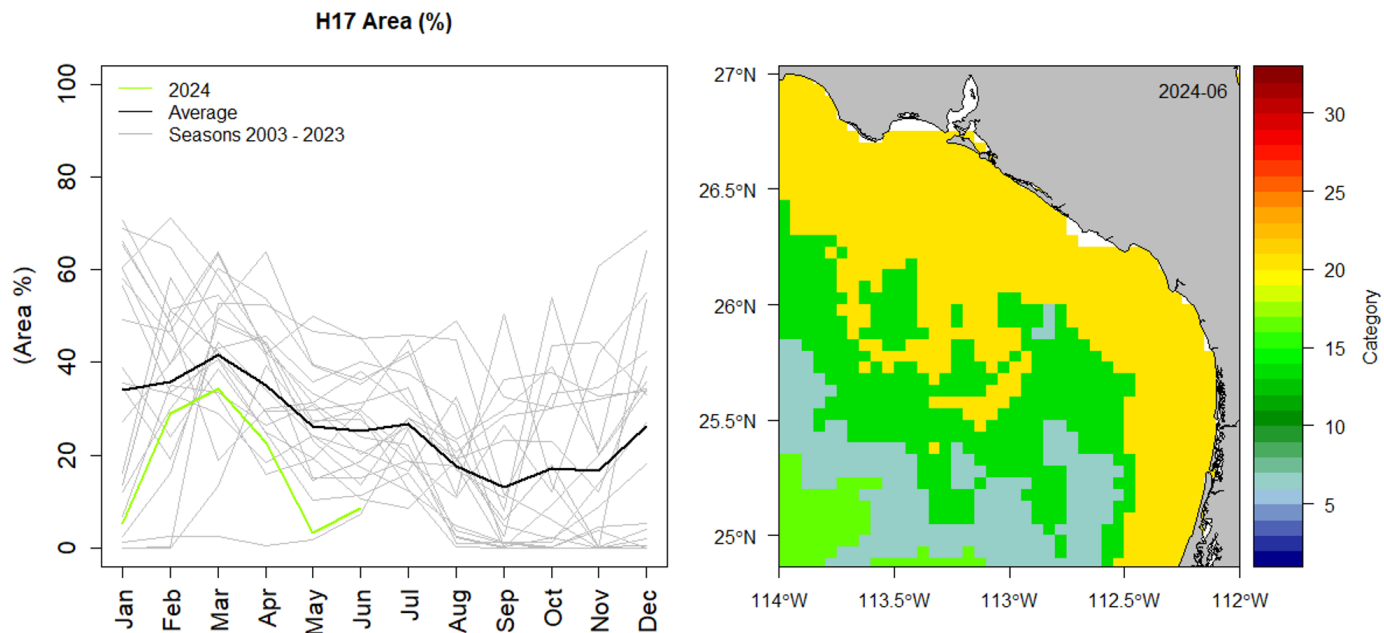


Figura 25: Paisaje Pelágico en el Golfo de Ulloa. a) Panel izquierdo: Comportamiento estacional (2003-2024) del hábitat H17 en el Golfo de Ulloa. b) Panel derecho: Distribución espacial promedio de los hábitats pelágicos durante junio de 2024.

3.6.4. Fitoplancton

Las concentraciones climatológicas de los grupos fitoplanctónicos representativos, diatomeas, dinoflagelados y cocolitofóridos, se presentan en la figura 26. Los datos diarios han sido recopilados del Servicio de Vigilancia Marina Copernicus (CMEMS). Las barras azules indican las climatologías de enero a diciembre del periodo 2002-2023, mientras que los puntos negros muestra el promedio mensual de enero a julio de 2024. Los resultados indican que el promedio mensual en las concentraciones de diatomeas, dinoflagelados y cocolitofóridos se mantiene menor al promedio climatológico.

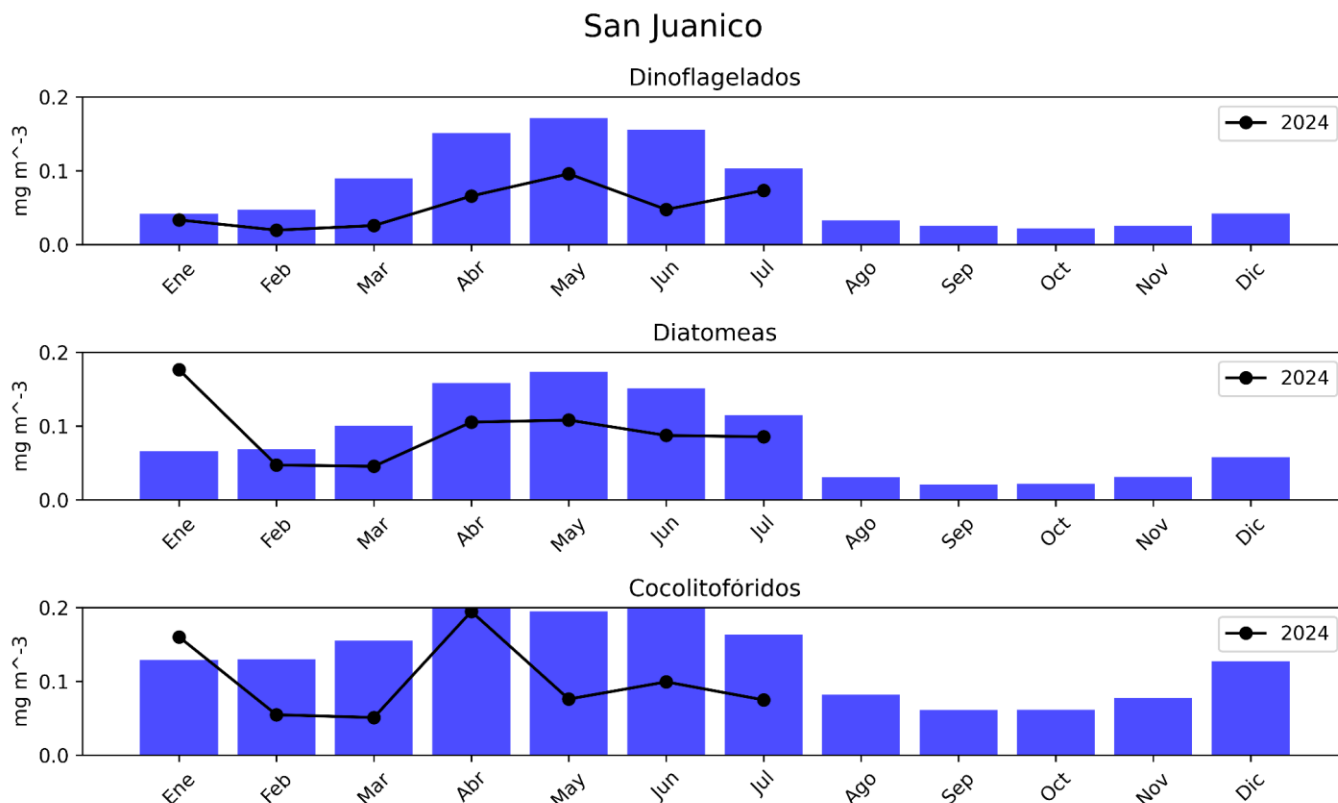


Figura 26: Climatologías de la concentración de grupos fitoplanctónicos expresada en CLO en el agua de mar en San Juanico en julio de 2024.

3.6.5. Temperatura en el Valle de Santo Domingo, área contigua, región San Juanico-Golfo de Ulloa

De acuerdo con los datos proporcionados por el observatorio meteorológico no. 3132 del Servicio Meteorológico Nacional - Comisión Nacional del Agua localizado en el Valle de Santo Domingo (25.00 °Latitud N, -111.64° Longitud Oeste), Ciudad Constitución, Comondú, México, el mes de julio de 2024 presentó una temperatura promedio de 28.9 °C (figura 27), valor que se ubicó 0.1 °C por arriba del promedio histórico (datos 1981-2017) del mismo mes. Asimismo, al comparar los promedios mensuales de las temperaturas máximas y mínimas registradas en julio de 2024 con respecto a los promedios históricos, se observó el mismo valor promedio en el mes de julio 2024 con respecto al promedio mensual histórico para la temperatura máxima, mientras que la temperatura mínima promedio del mes presentó una anomalía positiva de 0.3 °C (figura 28).

La figura 29 muestra el comportamiento diario de la temperatura y humedad relativa durante el 2024. En el análisis específico del mes de julio de 2024, se observó que el día 19 del mes se registró la temperatura más baja con 17.7 °C, mientras que el 31 de julio se presentó la temperatura más alta alcanzando un registro de 40.6 °C. En cuanto a la humedad relativa máxima, el promedio mensual fue de 98.1 %, mientras que el valor promedio de la humedad relativa mínima, fue de 22.2 %.

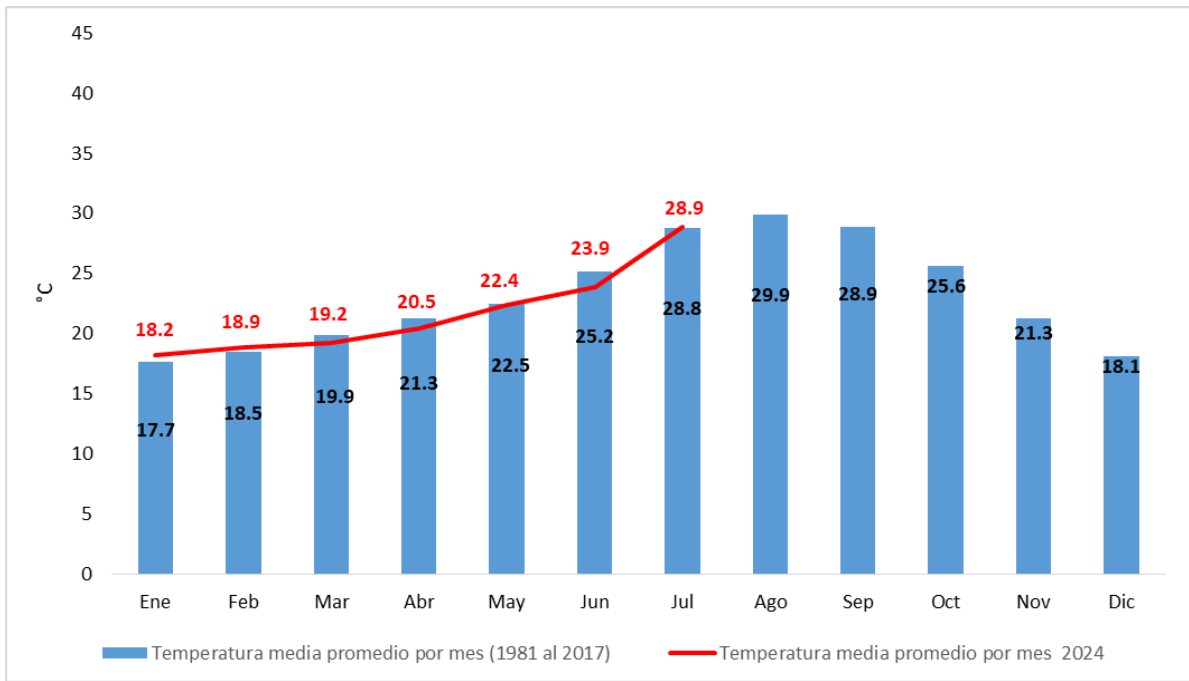


Figura 27: Comparativo de los promedios mensuales de la temperatura media (periodo 1981- 2017) con respecto a los registrados al mes de julio de 2024.

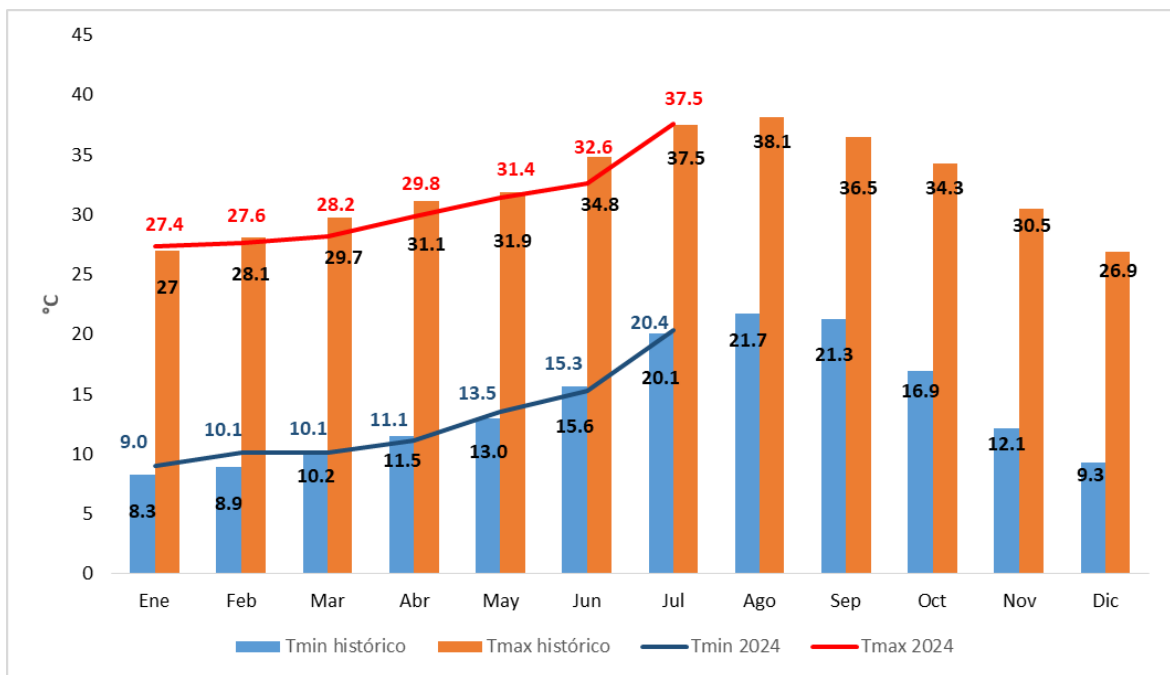


Figura 28: Comparativo entre los promedios de temperaturas máximas y mínimas históricas (1981-2017) con respecto a los promedios presentados al mes de julio de 2024.

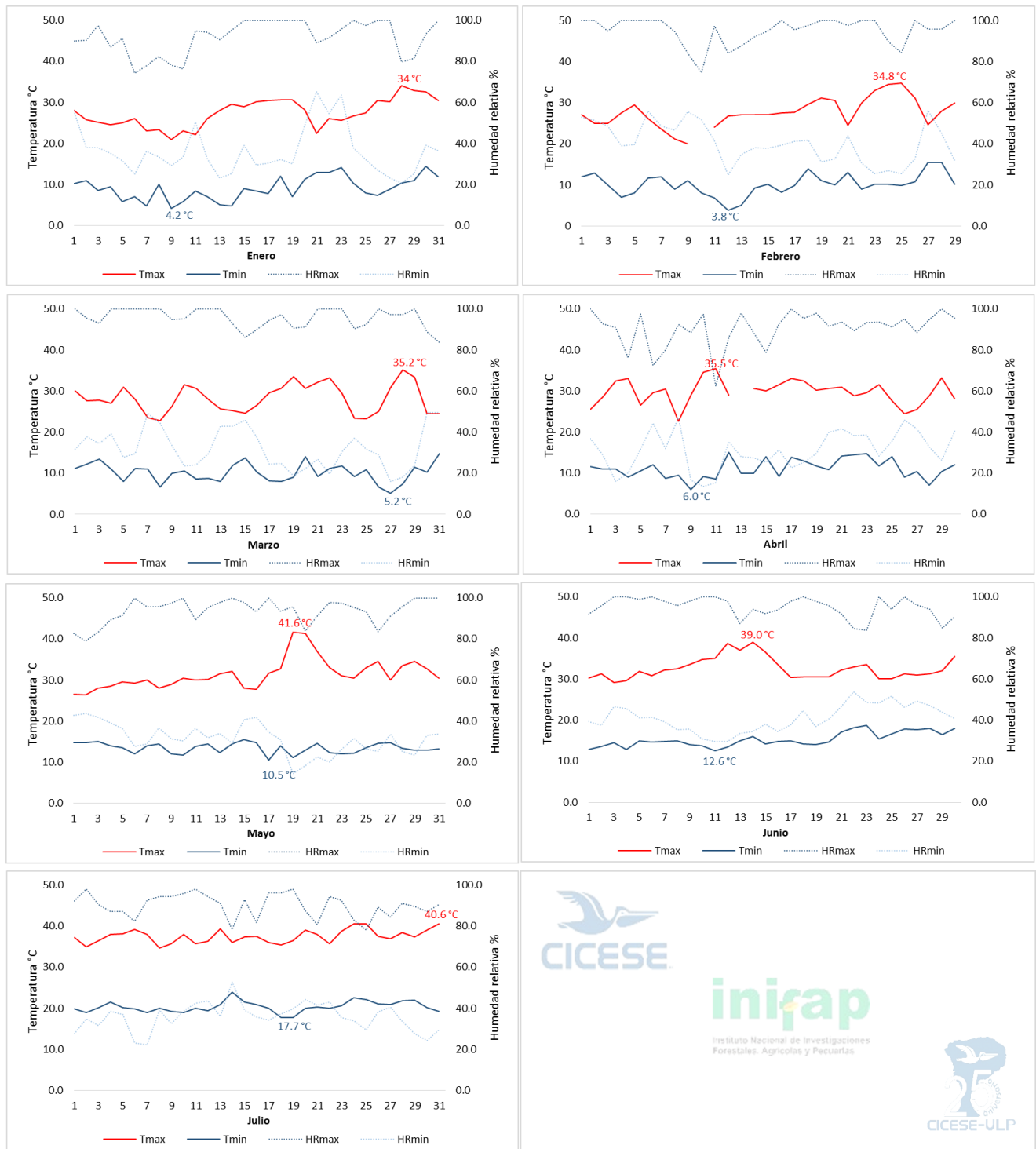


Figura 29: Comportamiento de la temperatura y humedad relativa al mes de julio de 2024. Tmax= Temperatura máxima. Tmin= Temperatura mínima. HRmax= Humedad relativa máxima. HRmin= Humedad relativa mínima. El día 19 de julio se presentó la temperatura más baja (17.7°C) y la más alta el 31 de julio (40.6°C). La falta de continuidad en las líneas representativas de cada variable, en algunos meses, indica dato no registrado.



3.7. Temperaturas mínimas y máximas en los aeropuertos de BCS

En esta sección del boletín se ilustran los patrones diarios, cambios y condiciones promedio de la temperatura del aire, viento y humedad en los tres aeropuertos internacionales que operan en Baja California Sur (Figura 30). Durante este mes, San José del Cabo tuvo temperaturas mínimas templadas (22-29°C) mientras que con excepción del 3 y 13 de julio, las tardes fueron cálidas con temperatura máxima mayor o igual a 33°C hasta 36°C. En La Paz, las mínimas oscilaron entre 20-26°C con un promedio mensual de 23.0°C; mientras que en Loreto el promedio de las mínimas fue de 29.5°C con valores diarios entre 25-33°C y máximas entre 31-36°C. Comparando con los promedios de enero (16.2°C), febrero (17.1), marzo (18.3), abril (21.2), mayo (25.5°) y junio (28.4) de 2024, en Loreto, la temperatura mínima en julio alcanzó el valor más alto (29.5°C) de lo que ha transcurrido en el año. Con respecto a la máxima promedio, entre junio y julio, aumentó 0.8°C en Loreto, 2.1°C en La Paz y 1.8°C en San José del Cabo. Esto, en parte, relacionado al incremento en horas de radiación solar y cielos mayormente despejados en este periodo del verano.

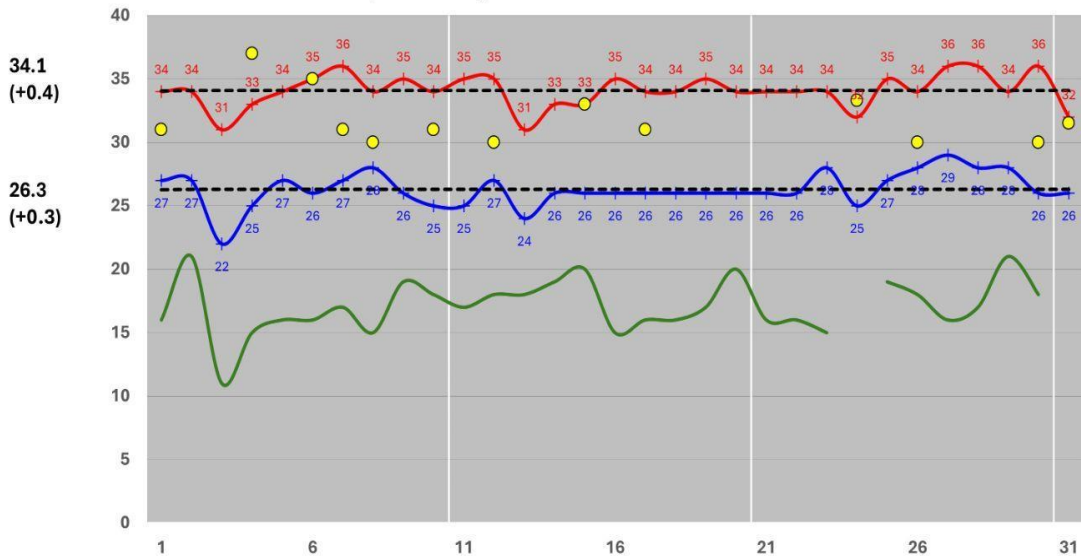
Desde una perspectiva histórica, con respecto a los reportes de temperatura diaria de julio en los cinco años anteriores (2019-2023), las anomalías del promedio de la temperatura mínima estuvieron ligeramente por arriba de lo normal en San José del Cabo (+0.3°C) pero menor a lo normal en La Paz (-0.5°C) y Loreto (-0.3°C). En San José del Cabo, la anomalía de temperatura máxima fue de +0.4°C mientras que +0.3°C en La Paz y nula (0.0°C) en Loreto. Recordar que una anomalía negativa (positiva) representa un valor menor (mayor) al ser comparado con el promedio de referencia disponible. A partir de julio de 2024 se tienen reportes de los años 2019 a 2023, lo cual incrementa a cinco los años anteriores para el promedio de referencia.

La humedad en el aire en forma de temperatura de punto de rocío (línea verde en Figura 30), se ha estado incrementando en cada uno de los aeropuertos, con promedios mensuales de 14.1°C, 17.1°C y 22.8°C en La Paz, San José del Cabo y Loreto respectivamente. En cuanto a los reportes de viento máximo, San José del Cabo destaca por haber excedido 30 km/h en nueve ocasiones; en un caso se alcanzaron 41 km/h (3 de julio) mientras que el aeropuerto de Loreto superó los 30 km/h en solamente cuatro oportunidades.

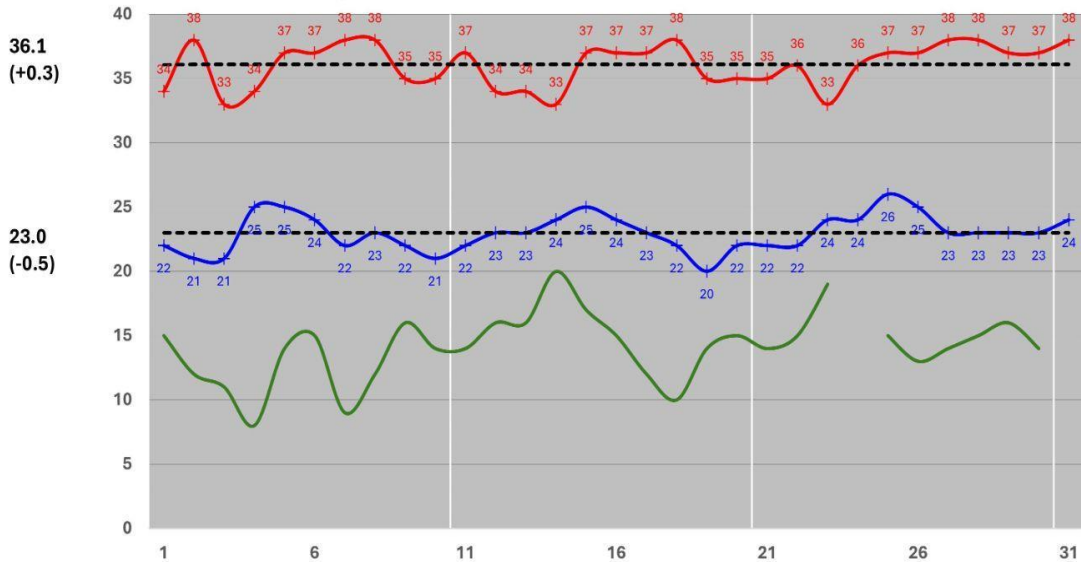
Tomando en cuenta los productos públicos derivados del monitoreo realizado por el Servicio Meteorológico Nacional (SMN, <https://smn.conagua.gob.mx>) y Centro Nacional de Huracanes en Estados Unidos (CNH, <https://www.nhc.noaa.gov>) es posible documentar el desarrollo e impacto de estos eventos. Este monitoreo se realiza diariamente mediante el análisis de observaciones disponibles así como por satélite geostacionario y en algunos casos se complementa con datos de vuelos de reconocimiento aéreo. Durante el mes de julio de 2024, se presentaron tres ciclones tropicales en el Océano Atlántico (Beryl y Chris); uno de ellos tuvo impacto directo en México en la península de Yucatán como huracán (categoría 2) en la costa de Quintana

Roo. El 4 de julio se formó el primer ciclón tropical en el Océano Pacífico oriental (Aletta) y posteriormente se desarrollaron Bud (24 a 26 de julio) y Carlotta (31 de julio a 6 de agosto) pero sin impacto directo en las costas de México. Asociado a la relativamente inactiva temporada de ciclones tropicales, en Baja California Sur se han registrado pocos eventos con lluvia aunque han ocurrido, principalmente, en localidades rurales en los municipios de Los Cabos (Cabo Pulmo, Los Barriles) y La Paz (Agua de San Antonio, El Carrizal, San Antonio, Sierra de la Laguna, San Pedro, El Triunfo) principalmente.

San José del Cabo, 1-31 de julio 2024



La Paz, 1-31 de julio 2024



Loreto, 1-31 de julio 2024

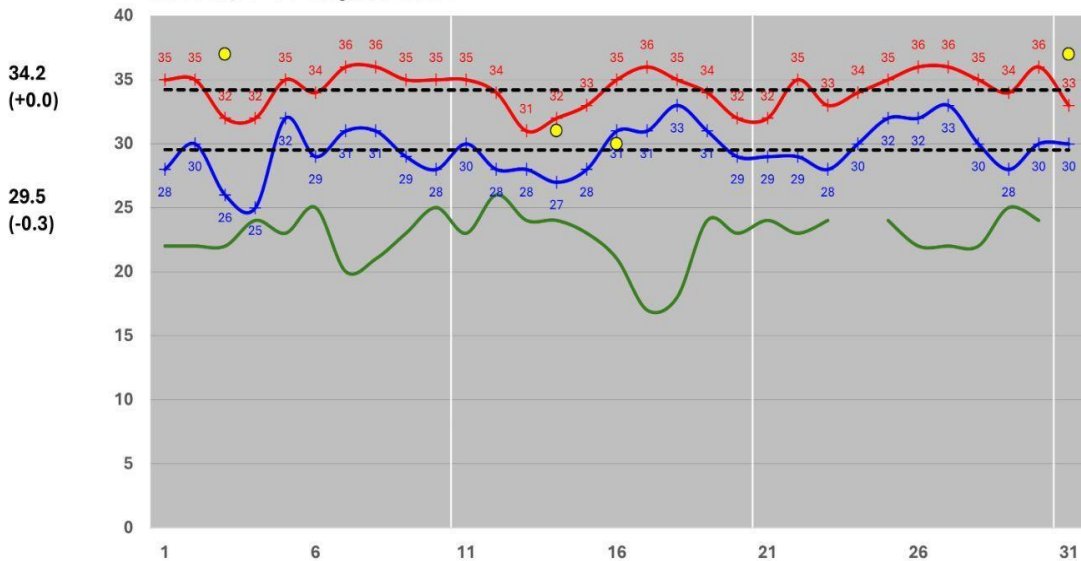


Figura 30: Temperatura (°C) mínima y máxima del aire en tres aeropuertos de Baja California Sur: San José del Cabo, La Paz y Loreto desde el 1 al 31 de julio. Se incluyen los promedios diarios de temperatura máxima (°C, línea roja), mínima (°C, línea azul), punto de rocío (°C, línea verde) y la magnitud del viento máximo (km/h, círculo amarillo). La línea punteada representa el promedio de los valores diarios de temperatura del aire. Los valores a la izquierda de cada eje vertical son promedios del mes, mientras que sus anomalías (respecto a 2019-2023) se indican en paréntesis.

4. Glosario

- **ANM.** La Anomalía del Nivel del Mar son las desviaciones de la altura del océano con respecto a una climatología de nivel del mar. Es un producto derivado de altimetría satelital y es proporcionado por el CMEMS.
- **CLO.** La CLO se refiere a la estimación de la concentración de clorofila a superficial del océano, determinada por sensores ópticos satelitales.
- **CMEMS.** CMEMS son las siglas en inglés del Copernicus Marine Environmental Monitoring Service de la Unión Europea. Es un servicio que se dedica a proporcionar información del medio marino.
- **EMA.** Una EMA es una Estación Meteorológica Automática que registra de forma automática los parámetros meteorológicos de temperatura del aire, humedad, presión barométrica, velocidad y dirección del viento/ráfaga, precipitación y radiación neta.
- **NMA.** El nivel del mar absoluto (NMA) es parecido a las ANM pero en este caso la referencia es el geoide terrestre. Es un producto derivado de altimetría satelital y es proporcionado por CMEMS.
- **PP.** El paisaje pelágico se puede entender como la composición dinámica de parches o hábitats pelágicos que se reconfiguran en el espacio y el tiempo en función de la hidrología, la turbulencia y la respuesta primaria de los microorganismos fotosintetizadores.
- **Tair.** Temperatura del aire registrada por una estación meteorológica Vantage Pro2 de Davis Instruments.
- **TSM.** El término TSM se refiere a la temperatura superficial del océano. Se basa en la temperatura de la capa delgada superficial hasta una profundidad entre 10–20 μm ., calibrada para hacerla equivalente a la capa superficial del océano.
- **ONI.** Oceanic Niño Index o índice oceánico de El Niño. El ONI, es el principal indicador de la NOAA para el seguimiento de la parte oceánica del patrón climático estacional denominado El Niño-Oscilación del Sur (ENSO). <https://www.climate.gov/news-features/understanding-climate/climate-variability-oceanic-nino-index>.
- **VTO.** Los datos de VTO se refieren a los datos de magnitud y dirección del viento registrados por una EMA.

5. Referencias

Cervantes-Duarte, R. Valdez-Holguin, J. E. y Reyes-Salinas. 2004. Comparación de reflectancia in situ 443/555 y 490/555 con Clorofila a y Materia Suspendida Total en Bahía de La Paz, B.C.S., México. *Hidrobiológica*, vol.14, No. 1, ISSN 0188-8897. http://www.scielo.org.mx/scielo.php?script=sci_arttext&pid=S0188-88972004000100002&lng=es&nrm=iso

Chin, T.M, J. Vazquez-Cuervo, and E.M. Armstrong. 2017. A multi-scale high-resolution analysis of global sea surface temperature, *Remote Sensing of Environment*, 200. <https://doi.org/10.1016/j.rse.2017.07.029>

Garnesson, P. Mangin, A. Fanton d'Andon, O. Demaria, J. and Bretagnon, M. 2019. The CMEMS GlobColour CLOrophyll a product based on satellite observation: multi-sensor merging and flagging strategies. *OS*, 15, 819–830, 2019. <https://doi.org/10.5194/os-15-819-2019>

IOCCG, 2014. Phytoplankton Functional Types from Space. Pp: 100-120 In: Sathyendranath, S. (ed.), *Reports of the International Ocean-Colour Coordinating Group*, No. 15, IOCCG, Dartmouth, Canada.

Kushnir, Y., 1994. Interdecadal variations in North Atlantic sea surface temperature and associated atmospheric conditions. *J. Clim.* 7 (1), 141–157, [10.1175/1520-0442\(1994\)007%3C0141:IVINAS%3E2.0.CO;2](https://doi.org/10.1175/1520-0442(1994)007%3C0141:IVINAS%3E2.0.CO;2)

Ramos-Rodríguez, A., Lluch-Cota, D.B., Lluch-Cota, S.E., Trasviña-Castro, A., 2012. Sea surface temperature anomalies, seasonal cycle and trend regimes in the Eastern Pacific coast. *Ocean Sci.* 8 (1), 81–90. <http://dx.doi.org/10.5194/osd-8-1215-2011>